

ESPÉCIES DE UREDINALES DO ESTADO DO CEARÁ

ROGÉRIO TAVARES DE ALMEIDA

ESPÉCIES DE UREDINALES DO ESTADO DO CEARÁ

POR

ROGÉRIO TAVARES DE ALMEIDA

Tese submetida ao Departamento
de Ciências do Solo da Universidade Federal do Ceará para
Concurso de Professor Titular.

Fortaleza, Ceará

1985

DECLARAÇÃO DO AUTOR

Esta tese faz parte dos requisitos exigidos pelo Departamento de Ciências do Solo do Centro de Ciências Agrárias da Universidade Federal do Ceará, para concurso de Professor Titular na área de Microbiologia Agrícola

Reprodução parcial permitida exclusivamente com referência da fonte e do autor.

Rogério Tavares de Almeida,
Engenheiro-Agrônomo, M.S.,
Ph.D., Professor Adjunto 4
da Universidade Federal do
Ceará.

Fortaleza, março de 1985

À minha mulher,
Conceição, e
Aos meus filhos,
Rogério
Erick e
Márcio

D E D I C O

AGRADECIMENTOS

O autor deseja expressar seus sinceros agradecimentos a todos aqueles que, direta ou indiretamente, contribuíram para a realização deste trabalho, com especial referência às pessoas abaixo relacionadas:

Professor José Ilo Ponte de Vasconcelos, da Universidade Federal do Ceará, pelo estímulo e revisão dos originais;

Professor Robert L. Gilbertson, da Universidade do Arizona, EUA, pela atenção e ensinamentos na área de micologia;

Professores Prisco Bezerra e Afrânio Gomes Fernandes, da Universidade Federal do Ceará, pela identificação de grande parte das plantas hospedeiras citadas no trabalho e pela revisão de seus nomes científicos;

Professor George B. Cummins, da Universidade do Arizona, EUA, Dr. Juan C. Lindquist, da Faculdade de Agronomia de LA PLATA, Argentina, e Dr. Francisco das Chagas Oliveira Freire, do CPATU-EMBRAPA, Belém, pelo fornecimento de informações e bibliografias de grande utilidade no presente estudo;

Engenheiros-Agrônomos Vânia Felipe Freire e Paulo Furtado Mendes Filho, pelo dedicado e incansável trabalho na manutenção do Herbário e montagem de preparações para microscopia, e pelo auxílio na preparação de fotomicrografias, respectivamente;

Sra. Clara Almeida Castelo Branco, secretária-datilografa do Convênio CNPq/BID/UFC - PDCT-NE, pela extrema dedicação e eficiência nos trabalhos de datilografia, e

Srs. Aldo Cirino Filho, auxiliar-técnico do Convênio CNPq/BID/UFC-PDCT-NE, e José de Pontes Franco, servidor da UFC, pela prestimosa ajuda durante as viagens empreendidas pelo autor para a coleta de espécimes de Uredinales.

Finalmente, o autor manifesta sua gratidão à Uni

versidade Federal do Ceará, pelas facilidades oferecidas pa
ra a realização desta pesquisa e pelas oportunidades oferecidas na sua formação acadêmica.

CONTEÚDO

	Página
LISTA DE ILUSTRAÇÕES	vii
INTRODUÇÃO	1
REVISÃO DE LITERATURA	2
MATERIAIS E MÉTODOS	5
RESULTADOS E DISCUSSÃO	7
Chave para os gêneros de Uredinales do Ceará	10
Chave para as espécies de <u>Crossopsora</u> sobre Malpighiaceae do Ceará	23
Chave para as espécies de <u>Phakopsora</u> sobre Euphorbiaceae do Ceará	28
Chave para as espécies de <u>Puccinia</u> sobre Compositae do Ceará	41
Chave para as espécies de <u>Puccinia</u> sobre Convolvulaceae do Ceará	46
Chave para as espécies de <u>Puccinia</u> sobre Gramineae do Ceará	51
Chave para as espécies de <u>Ravenelia</u> sobre Leguminosae do Ceará	75
Chave para as espécies de <u>Uromyces</u> sobre Compositae do Ceará	92
Chave para as espécies de <u>Uromyces</u> sobre Euphorbiaceae do Ceará	96
Chave para as espécies de <u>Uromyces</u> sobre Leguminosae do Ceará	100
CONCLUSÕES	108
RESUMO	109
SUMMARY	111
LITERATURA CITADA	113
ÍNDICE DE PLANTAS HOSPEDEIRAS	117

LISTA DE ILUSTRAÇÕES

Figura	Página
1 - Uredósporos de <u>Achrotelium lucumae</u> (400X)	13
2 - Eciósporos de <u>Aecidium cordiae</u> (400X)	15
3 - Uredósporos de <u>Cerotelium fici</u> (400X)	17
4 - Uredósporos de <u>Chaconia ingae</u> (400X)	19
5 - Uredósporos de <u>Coleosporium plumierae</u> (400X)	21
6 - Uredósporos de <u>Coleosporium vernoniae</u> (400X)	22
7 - Uredósporos de <u>Crossopsora byrsonimatis</u> (400X)	24
8 - a. uredósporo; b. paráfise de <u>Crossopsora</u> <u>notata</u> (400X)	25
9 - Uredósporos de <u>Hemileia vastatrix</u>	27
10 - a. uredósporos; b. teliossoro, mostrando teliosporos não catenulados de <u>Phakopsora</u> <u>crotonis</u> (400X)	29
11 - a. paráfises; b. uredósporos de <u>Phakopsora</u> <u>jatrophicola</u> (400X)	30
12 - Uredósporos de <u>Phakopsora gossypii</u> (400X)	31
13 - a. paráfises; b. uredósporos de <u>Physopella</u> <u>compressa</u> (400X)	33
14 - a. picnídios; b. conídios de <u>Darluca filum</u> (400X)	34
15 - a. teliospоро; b. uredósporo de <u>Prospodium</u> <u>tecomicola</u> (400X)	36
16 - Uredósporos de <u>Puccinia mogiphanis</u> (400X)	38
17 - Teliósporos de <u>Puccinia obliqua</u> (400X)	39
18 - Uredósporos de <u>Puccinia thalliae</u> (400X)	40
19 - Teliósporos de <u>Puccinia</u> <u>cnici-oleracei</u>	42
20 - a. uredósporo; b. teliospоро de <u>Puccinia</u> <u>conoclini</u> (400X)	43
21 - a. uredósporo; b. teliospоро de <u>Puccinia</u> <u>helianthi</u> (400X)	44

22	- a. teliósporo; b. uredósporo de <u>Puccinia verbesinae</u> (400X)	45
23	- a. eciósporos; b. grupo de células do péríodo de <u>Puccinia distinguenda</u> (400X).....	47
24	- Uredósporos de <u>Puccinia lithospermi</u> (400X).....	48
25	- Uredósporos de <u>Puccinia cucumeris</u> (400X).....	49
26	- a. uredósporos; b. paráfises de <u>Puccinia cyperi</u> (400X)	50
27	- Uredósporos de <u>Puccinia dolosa</u> var. <u>circundata</u> (400X)	52
28	- paráfises; b. uredósporos de <u>Puccinia purpurea</u> (400X)	53
29	- a. uredósporos; b. paráfise de <u>Puccinia posadensis</u>	54
30	- a. uredósporo; b. paráfise de <u>Puccinia chaceana</u> (400X)	55
31	- a. teliósporo; b. uredósporo de <u>Puccinia oahuensis</u> (400X)	56
32	- Uredósporo de <u>Puccinia cenchri</u> (400X).....	57
33	- Uredósporos de <u>Puccinia cynodontis</u> (400X)	58
34	- Uredósporos de <u>Puccinia polysora</u> (400X)	59
35	- a. uredósporo; b. teliósporo de <u>Puccinia aristidae</u> var. <u>chaetariae</u> (400X)	60
36	- a. teliósporos; b. uredósporo de <u>Puccinia huberi</u> (400X)	61
37	- Uredósporo de <u>Puccinia pappophori</u> (400X).....	62
38	- Uredósporos de <u>Puccinia sorghi</u> (400X)	63
39	- Uredósporos de <u>Puccinia heliconiae</u> (400X).....	64
40	- Uredósporos de <u>Puccinia leonotidicola</u> (400X) ..	65
41	- Uredósporos de <u>Puccinia arachidis</u> (400X)	66
42	- a. mesósporos; b. teliósporos bicelulares de <u>Puccinia heterospora</u> (400X)	67
43	- Uredósporos de <u>Puccinia psidii</u> (400X)	68
44	- Teliósporos de <u>Puccinia lateritia</u> (400X).....	69
45	- Teliósporos de <u>Puccinia arechavaletae</u> (400X) ..	70
46	- Uredósporos de <u>Puccinia hydrocotyles</u> (400X) ...	71

47	- Teliósporos de <u>Puccinia lantanae</u> (400X)	72
48	- Teliossoro apresentando teliósporos catenu- lados de <u>Pucciniosira pallidula</u> (400X).....	74
49	- a. uredósporo; b. paráfises; c. capítulo de teliósporos de <u>Ravenelia pileorarioi-</u> <u>des</u> (400X)	76
50	- a. capítulo de teliósporos; b. paráfises; c. uredósporo de <u>Ravenelia cebil</u> (400X).....	77
51	- a. paráfise; b. uredósporos de <u>Ravenelia</u> <u>indigoferae</u> (400X)	78
52	- a. uredósporos; b. capítulo de teliósporos de <u>Ravenelia cohniana</u> (400X)	79
53	- a. uredósporos; b. capítulo de teliósporos de <u>Ravenelia pithecolobii</u> (400X).....	80
54	- Uredósporos de <u>Sphaerophramium acaciae</u> (400X)	82
55	- Uredósporos de <u>Uredo cypericola</u> (400X).....	84
56	- a. uredósporo; b. paráfises de <u>Uredo</u> <u>ignava</u> (400X)	85
57	- Uredósporos de <u>Uredo hymenaeae</u> (400X).....	86
58	- a. uredósporo; b. paráfises de <u>Uredo</u> <u>cocclobae</u> (400X)	87
59	- Uredósporo de <u>Uredo boreriae</u> (400X).....	88
60	- Uredósporos de <u>Uromyces asclepiadis</u> (400X)....	90
61	- Uredósporos de <u>Uromyces commeliniae</u> (400X)....	91
62	- Uredósporos de <u>Uromyces bidenticola</u> (400X)....	93
63	- a. uredósporos; b. teliósporo de <u>Uromyces cucullatus</u> (400X).....	94
64	- a. uredósporos; b. teliósporos de <u>Uromyces blainvilleae</u> (400X)	95
65	- Uredósporos de <u>Uromyces euphorbiae</u> (400X)....	97
66	- a. teliósporo; b. uredósporo de <u>Uromyces manihoticola</u> (400X)	98
67	- Uredósporos de <u>Uromyces setariae-</u> <u>italicae</u> (400X)	99

Figura

Página

- 68 - a. uredósporo; b. teliósporo de
Uromyces bauhiniae (400X) 101
- 69 - a. uredósporos; b. teliósporos de
Uromyces castaneus (400X) 102
- 70 - a. uredósporos; b. teliósporos de
Uromyces neurocarpi (400X) 103
- 71 - a. uredósporo; b. teliósporos de
Uromyces bradburyae (400X) 104
- 72 - Uredósporos de Uromyces appendiculatus
var. appendiculatus (400X) 105
- 73 - Uredósporos de Uromyces appendiculatus
var. brasiliensis (400X) 106
- 74 - Eciósporos de Uromyces cestri (400X) 107

INTRODUÇÃO

Os fungos pertencentes à Ordem Uredinales, Classe dos Teliomicetos, apresentam grande importância por causarem fitomoléstias, denominadas ferrugens, nas mais diversas famílias de vegetais superiores, envolvendo grande parte das plantas economicamente importantes, além de despertarem interesse taxonômico em todo o mundo, por formarem diferentes tipos de frutificação no ciclo de vida, podendo o mesmo ser completado em duas plantas hospedeiras de espécies diferentes.

Além do fungo da ferrugem do cafeeiro, Hemileia vastatrix Berk. & Br., considerado o agente de uma das dez mais importantes fitomoléstias do mundo, são potencialmente importantes para o Estado do Ceará: Uromyces appendiculatus (Pers.) Ung. var. appendiculatus - causador da ferrugem do feijoeiro; Puccinia arachidis Speg. - ferrugem do amendoim; Uromyces manihotica P. Henn. - ferrugem da mandioca; Phakopsora gossipii (Lagh.) Hirat. f. - ferrugem do algodoeiro; Puccinia helianthi Schw. - ferrugem do girassol; Puccinia purpurea Cke. - ferrugem do sorgo; Puccinia sorghi e Puccinia polysora Underw. - ferrugem do milho, e Puccinia psidii Wint. - ferrugem da goiabeira.

Como no Ceará são poucos os estudos relativos a estes fungos, constando especialmente de apresentação de relações de espécies, o objetivo do presente trabalho é realizar um estudo taxonômico, a partir de material herborizado, sobre os espécimes recentemente coletados pelo autor e sobre as espécies já registradas como ocorrentes no Estado do Ceará, fornecendo chaves analíticas e descrição dos gêneros e espécies de Uredinales do Ceará.

REVISÃO DE LITERATURA

Os fungos causadores de ferrugem nos vegetais superiores pertencem à Ordem Uredinales, Classe dos Teliomictos, de acordo com Ainsworth (1966).

Além de sua importância econômica - a ferrugem do cafeeiro, causada por Hemileia vastatrix Berk. & Br., é considerada uma das dez fitomoléstias mais importantes do mundo (MORAES, 1983) - os fungos de ferrugem despertam grande interesse taxonômico, por apresentarem diferentes tipos de frutificações ou estados no ciclo de vida, assim denominados: estado 0 (espermogônico), estado I (ecídico), estado II (uredospórico) e estado III (teliospórico). CUMMINS (1959) classifica os ciclos de vida dos fungos de ferrugem em: macrocíclico, quando estão presentes os estados 0, I, II e III ou apenas I, II e III; demicíclico - 0, I e III ou apenas I e III presentes, e microcíclico, quando apresentam 0 e III ou somente o estado III no ciclo de vida. São denominados, ainda, fungos autóicos quando realizam o ciclo de vida em plantas de uma mesma espécie ou heteróicos se necessitam de hospedeiros de espécies diferentes para completar seu ciclo de vida.

Dentre os gêneros que compõem a Ordem Uredinales, Puccinia, seguido de Uromyces, é o gênero que apresenta maior número de espécies, sendo o estado II (uredospórico) do ciclo de vida o mais difundido na natureza (CUMMINS, 1959).

Quanto ao modo de vida, os fungos de ferrugem, como ocorrem na natureza, têm sido considerados parasitas obrigatórios de plantas. HOTSON & CUTTER (1951) foram os primeiros pesquisadores a obterem uma cultura pura de um fungo de ferrugem, Gymnosporangium juniperi - virginianiae Schw., a partir de cultura de tecido. Contudo, somente em 1966 foi que WILLIAMS, SCOTT & KUHL conseguiram cultivar Puccinia graminis f. sp. tritici em meio de cultura artificial. A partir daí, alguns fungos de ferrugem têm sido cultivados, inclusive com a produção de suas frutificações, em meios de cultura artificiais definidos (SCOTT & MACLEAN, 1969).

Dada a sua importância econômica, o controle des
tes fungos é feito especialmente pela aplicação de fungicidas e pelo emprego de cultivares resistentes, sendo de interesse, também, os estudos visando seu controle biológico, pois os fungos de ferrugem apresentam inimigos naturais. VIÉGAS (1945a) registra no Brasil, como hiperparasitas de ferrugens, os fungos Darluca filum (Biv.) Cast. e Eudarluca australis Speg. e BULLOW (1966), estudando os inimigos naturais dos fungos Physopella zae, Puccinia polysora, Puccinia purpurea e Puccinia sorghi, observou, além de uma minúscula larva vermelha da Ordem Diptera devorando os uredósporos dos citados fungos, o hiperparasita Darluca filum como responsável pela redução, em mais de 90%, na formação de uredósporos das ferrugens do milho, conforme a espécie de fungo e as condições do meio ambiente. ERIKSSON (1966) considera Eudarluca australis Speg. um sinônimo de Eudarluca caricis (Fr.) O. Eriks., que é a denominação da forma ou estado perfeito de Darluca filum (Biv.) Cast.

Com relação às pesquisas sobre Uredinales no Brasil, envolvendo identificação e descrição de espécies, poucos trabalhos foram desenvolvidos por pesquisadores brasileiros, sendo a maioria realizados por estudiosos estrangeiros. Dentre aqueles em que participaram pesquisadores brasileiros, destacam-se os trabalhos de VIÉGAS (1945a; 1945b), em que o mesmo descreve espécies de Uredinales ocorrentes no Brasil, especialmente em São Paulo; BATISTA E BEZERRA (1960), descrevendo alguns fungos de ferrugem do Estado de Pernambuco; BATISTA et alii (1966), sobre espécies de ferrugens do Estado do Pará; ALBUQUERQUE (1971a; 1971b) e ALBUQUERQUE & FIGUEIREDO (1971), com um levantamento e a descrição de 6 novas espécies de Uredinales da região Amazônica; LINDQUIST & COSTA NETO (1963; 1967), registrando as Uredinales do Rio Grande do Sul; ALMEIDA (1975), realizando um estudo taxonômico sobre as espécies de Uromyces sobre leguminosas do Brasil, com a descrição de 3 novas espécies e 3 novas variedades de Uredinales e, finalmente, HENNEN, HENNEN & FIGUEIREDO (1982), apresentando um importante índice sobre as Uredinales do Brasil, acompanhado de extensa bibliografia, encontrada, tam-

bém, em ALMEIDA (1975) e VIÉGAS (1945a).

No Estado do Ceará os trabalhos sobre ferrugem se resumem aos de VASCONCELOS (1965; 1969; 1971) em que o autor apresenta 3 relações sobre fungos parasitas de plantas, incluindo os registros de 12 espécies de Uredinales e de Phragmidium sp., sobre Rosa sp., cultae e de Puccinia sp. sobre Saccharum officinarum L.; ALMEIDA, LANDIM & GUEDES (1977), registrando a ocorrência do fungo da ferrugem do cafeeiro, He-mileia vastatrix Berk. & Br. e, por fim, ALMEIDA & FREIRE (1981; 1985), apresentando duas relações sobre as espécies de Uredinales do Ceará, em que os autores registram a ocorrência de 10 espécies de Uredinales sobre Gramineae, 12 espécies, incluindo-se 2 variedades, sobre Leguminosae e 35 espécies sobre outras famílias de hospedeiros, além de constatarem Puccinia substriata Ell. & Barth., sobre Digitaria horizontalis Willd., e de Uredo kyllingiae P. Henn., sobre Kyllinga odorata Vahl. Consideraram, referidos autores, ainda, como espécies distintas, Puccinia acanthospermi P. Henn., Puccinia emiliae P. Henn. e Puccinia spilanthis P. Henn.

MATERIAIS E MÉTODOS

O presente trabalho foi realizado a partir de material herborizado, estando todos os espécimes, que representam as espécies de Uredinales do Ceará, catalogados no Herbário Micológico do Centro de Ciências Agrárias da Universidade Federal do Ceará (CCAM).

O estudo taxonômico foi baseado especialmente na observação microscópica de estruturas fúngicas. Estas foram montadas em lactofenol, sendo as lâminas algumas vezes aquecidas para dar uma melhor visualização de importantes características, principalmente dos poros germinativos dos uredósporos. Cortes transversais nas folhas foram feitos para melhor detectar as frutificações internas, não irrompentes, bem como as paráfises dos uredossoros.

A base para a identificação das espécies envolveu estudos sobre tamanho e forma dos eciósporos, uredósporos e teliósporos, espessura e ornamentação das paredes dos esporos, características dos pedicelos dos teliósporos, número e posição dos poros germinativos principalmente dos uredósporos e a presença ou ausência de paráfises. Os tipos de frutificação presentes no ciclo de vida, incluindo sintomas, e a precisa identificação do hospedeiro foram caracteres adicionais que ajudaram na identificação das espécies de Uredinales.

A identificação de grande parte das plantas hospedeiras referidas neste trabalho foi realizada pelos botânicos Prisco Bezerra e Afrânio Gomes Fernandes.

Chaves analíticas e descrições são fornecidas para os gêneros e espécies de Uredinales que ocorrem no Estado do Ceará. Os gêneros são apresentados por ordem alfabética e as espécies de cada gênero de Uredinales são relacionadas pela ordem alfabética das famílias botânicas dos hospedeiros. Sempre que mais de uma espécie de um mesmo gênero ocorrerem numa mesma família de hospedeiros, são apresentadas chaves para a separação das referidas espécies de Uredinales.

Na descrição de cada espécie de Uredinales, baseada apenas nos estados do ciclo de vida que ocorrem no Ceará, são indicados o nome do hospedeiro, local da coleta e o número do espécime pertencente ao Herbário do Centro de Ciências Agrárias da UFC (CCAM). São citados entre parênteses, os nomes científicos considerados sinônimos dos fungos de ferrugem e de alguns hospedeiros, os nomes vulgares das plantas hospedeiras e as referências bibliográficas onde se encontram as descrições de cada espécie de Uredinales.

A descrição da maior parte dos gêneros de Uredinales foi adaptada de CUMMINS (1959), parte dos nomes vulgares dos hospedeiros foi denominada de acordo com BRAGA (1960) e, para a abreviatura dos autores dos nomes científicos dos fungos e dos hospedeiros, seguiu-se USDA (1970).

As ilustrações sobre as espécies de Uredinales foram feitas a partir de fotomicrografias e desenhos.

RESULTADOS E DISCUSSÃO

Os resultados do estudo taxonômico, a partir de material herborizado, visando a identificação das espécies de Uredinales, mostram que ocorrem no Estado do Ceará 72 espécies (páginas 13 a 107), incluindo-se 1 variedade de Puccinia dolosa Arth. & Fromme, 1 variedade de Puccinia aristidae Tracy e 2 variedades de Uromyces appendiculatus (Pers.) Ung., distribuídas em 16 gêneros (página 10). Dentre elas, 17 são registradas pela primeira vez como ocorrentes no Ceará. Indicam, também, quando se compara com os resultados da pesquisa de HENNEN, HENNEN & FIGUEIREDO (1982) que as espécies Achrotelium lucunae (Arth. & J.R. Johnston) Cumm., Coleosporium plumierae Pat., Puccinia aristidae Tracy var. chaetariae Cumm. & Husain, Puccinia chaseana Arth. & Fromme, Puccinia conoclini Seym. ex Burr., Puccinia pappophori Cumm. e Ravenelia cebil Speg., incluindo-se o gênero Achrotelium, são registradas pela primeira vez no Brasil, além de incorporar vários novos hospedeiros para outras espécies de Uredinales ocorrentes no Brasil.

Ao se estabelecer o critério para o relacionamento das espécies de cada gênero de Uredinales pela ordem alfabética das famílias botânicas das plantas hospedeiras e de se apresentar chaves analíticas para a separação de espécies de um determinado gênero que ocorrem sobre a mesma família de hospedeiros, constatou-se no Ceará 2 espécies de Crossopsora sobre Malpighiaceae (página 23), 2 espécies de Phakopsora sobre Euphorbiaceae (página 28), 4 espécies de Puccinia sobre Compositae (página 41), 2 espécies de Puccinia sobre Convolvulaceae (página 46), 12 espécies de Puccinia, incluindo-se 2 variedades, sobre Gramineae (página 51), 5 espécies de Ravenelia sobre Leguminosae (página 75), 3 espécies de Uromyces sobre Compositae (página 92), 2 espécies de Uromyces sobre Euphorbiaceae (página 96) e 5 espécies, incluindo-se 2 variedades, de Uromyces sobre Leguminosae (página 100).

Os gêneros que apresentaram maior número de espécies foram Puccinia e Uromyces, com 32 e 14 espécies, respectivamente, e o estado uredospórico, o mais difundido no Ceará,

ocorre em 62 espécies estudadas, concordando com (1959).

CUMMINS

As observações microscópicas feitas com os espécimes identificados como Phragmidium sp., sobre Rosa sp., cultae (roseira), de acordo com VASCONCELOS (1969) e de Puccinia sp. sobre Saccharum officinarum L. (cana-de-açúcar), conforme VASCONCELOS (1971), não permitiram uma confirmação pelo que decidiu-se excluir o gênero Phragmidium deste estudo, verificando-se, também, através da observação de novos espécimes de S. officinarum, com as plantas supostamente atacadas e com a mesma sintomatologia apresentada anteriormente, a inexistência de ferrugem na cana-de-açúcar no Estado do Ceará.

A espécie identificada como Puccinia substriata Ell. & Barth., sobre Digitaria horizontalis Willd., (ALMEIDA & FREIRE, 1981), não foi confirmada no presente estudo. Puccinia substriata foi identificada inicialmente com base apenas no estado II, uredospórico, sendo que, estudando-se mais detalhadamente o material, detectou-se, também, a presença de paráfises e do estado III, teliospórico, deduzindo-se que se trata da espécie Puccinia oahuensis Ell. & Ev.

ALMEIDA & FREIRE (1985) identificaram sobre Cyperaceae as espécies Puccinia cyperi Arth. e Uredo cypericola P. Henn., ambas sobre Cyperus sp., e Uredo kyllingiae P. Henn., sobre Kyllinga odorata Vahl. Contudo, fazendo-se um estudo comparativo das três espécies, verificou-se que Puccinia cyperi e Uredo kyllingiae representam uma única espécie, concordando com as observações de LINDQUIST (1960).

As espécies Puccinia acanthospermi P. Henn., Puccinia emiliae P. Henn. e Puccinia spilanthis P. Henn., identificadas por (ALMEIDA & FREIRE, 1985) como espécies distintas, foram consideradas neste estudo como uma única espécie, e denominada Puccinia cnici-oleracei Pers. ex Desm., conforme HENNEN, HENNEN & FIGUEIREDO (1982).

Deve-se frisar que alguns espécimes, cujas observações e informações obtidas durante seu estudo taxonômico não levaram à sua precisa identificação a nível de espécie, ou

por se tratarem, possivelmente, de espécies novas, não foram incluídos nos resultados deste estudo.

O hiperparasita Darluca filum (Biv.) Cast. (Figura 14) foi encontrado sobre as espécies Physopella compressa (Mains) Cumm. & Ramachar, Puccinia cyperi Arth., Puccinia dolosa Arth. & Fromme var. circundata (Mains) Ramachar & Cumm., Puccinia polysora Underw., Puccinia purpurea Cke., Puccinia sorghi e Uromyces bauhiniae P. Henn., indicando um possível controle biológico destes agentes em condições naturais, de importância especialmente para as ferrugens do milho e do sorgo no Estado do Ceará.

CHAVE PARA OS GÊNEROS DE UREDINALES DO CEARÁ

1. Teliósporos conhecidos no ciclo de vida 3
1. Teliósporos não conhecidos no ciclo de vida 2
2. Apenas eciósporos presentes Aecidium (2)
2. Apenas uredósporos presentes Uredo (15)
3. Teliósporos agrupados, formando
capítulos Ravenelia (13)
3. Teliósporos não formando capítulos 4
4. Teliósporos sésseis (podem ser em cadeias) 5
4. Teliósporos pedicelados 11
5. Teliósporos unicelulares 6
5. Teliósporos bicelulares, com septo
horizontal Pucciniosira (12)
6. Teliósporos em grupos sobre células
basais esporogênicas Chaconia (4)
6. Teliósporos em camadas ou colunas,
2 ou mais esporos em profundidade 7
7. Basídio interno Coleosporium (5)
7. Basídio externo 8
8. Teliossoro permanecendo coberto pela epiderme 9
8. Teliossoro exposto, rompendo a epiderme 10
9. Teliósporos irregularmente arranjados,
não catenulados Phakopsora (8)
9. Teliósporos catenulados Physopella (9)
10. Teliósporos não formando colunas Cerotelium (3)
10. Teliósporos formando colunas
filiformes Crossopsora (6)
11. Teliósporos unicelulares 12
11. Teliósporos com mais de uma célula 14
12. Basídio interno Achrotelium (1)
12. Basídio externo 13
13. Teliósporos normalmente com paredes
escuras, com um poro germinativo e
evidente Uromyces (16)
13. Teliósporos com paredes hialinas, sem
um poro germinativo evidente, emergindo
através das câmaras estomáticas Hemileia (7)

- 14. Teliósporos bicelulares, com septo horizontal 15
- 14. Teliósporos com septos horizontais
e verticais Sphaerophagmum (14)
- 15. Espermogônio subcuticular Prospodium (10)
- 15. Espermogônio subepidérmico Puccinia (11)

1. Achrotelium H. Syd., Ann. Mycol. 26: 425. 1928.

Espermogônios subcuticulares. Êcios uredinóides, subepidérmicos, irrompentes; eciôsporos pedicelados, equinulados. Uredossoros subepidérmicos, irrompentes; uredósporos idênticos aos eciôsporos. Teliosoros subepidérmicos, irrompentes; teliosporos em grupos sobre células basais, pedicelados, unicelulares, sem um poro germinativo evidente, parede pálida; na germinação, o teliospóoro divide-se num basídio interno com 4 células, cada uma produzindo um basidiósporo.

Espécie Tipo: Achrotelium ichnocarpi Syd.

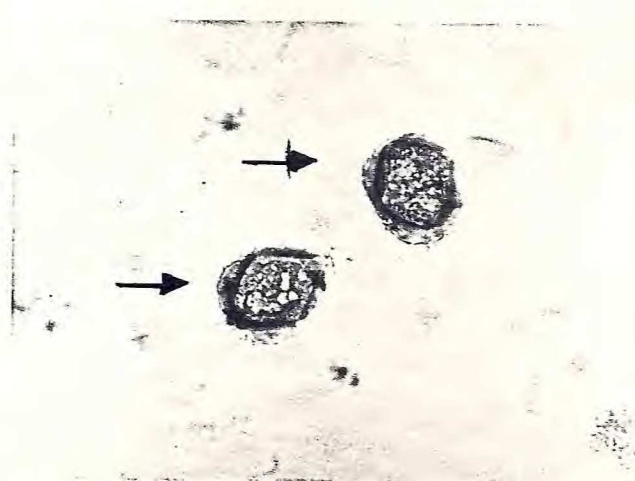


FIGURA 1 - Uredósporos de Achrotelium lucumae
(400X).

SAPOTACEAE

1.1. Achrotelium lucumae (Arth. & J.R. Johnston) Cumm.
(Uredo lucumae Arth. & J.R. Johnston)

Uredósporos anfígenos, castanhos, agrupados, elevados, irrompentes, medindo até 3mm de diâmetro; uredósporos (Figura 1) elipsóides ou obovóides, medindo 44-47 x 30-37 μ m, com 2 poros germinativos equatoriais, parede bilaminada, fortemente equinulada, com epispório hialino, medindo 4-7 μ m e endospório variando de amarelo-ouro a amarelo-escuro, com 3,0 μ m de espessura.

Sobre Lucuma grandiflora A. DC., (Turubá), Ibiapina, espéc. nº 904 CCAM (SYDOW & SYDOW, 1924).

2. Aecidium Pers., Syst. Nat. 2: 1472-1791.

Gênero de Uredinales imperfeitas em que apenas o estado ecídico é conhecido no ciclo de vida. Écios com período curto, em forma de taça, e as células peridiais são angulosas e aproximadamente rombooidais; eciósporos catenulados, comumente verrucosos.

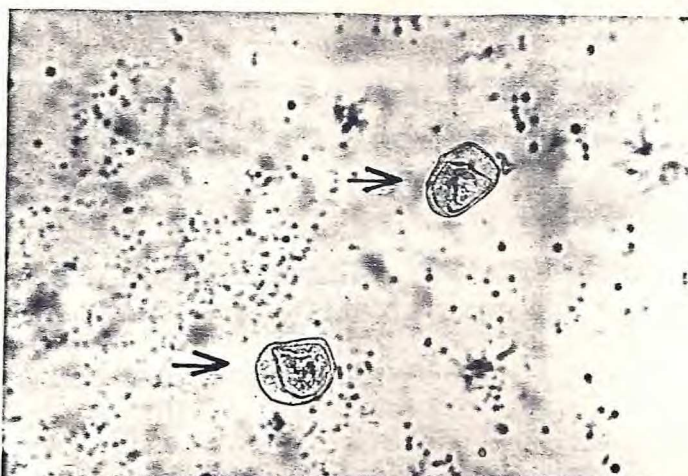


FIGURA 2 - Eciōsporos de Aecidium cordiae (400X).

BORRAGINACEAE

2.1. Aecidium cordiae P. Henn. & Magn.

Écios hipófilos, agrupados, elevados, irrompentes, 2-4mm de diâmetro, esbranquiçados; eciōsporos (Figura 2) quase hialinos, angulato-globosos, 30-34 x 23-27 µm, densamente verrucosos, parede medindo 1,5 - 2 µm, espessando-se no ápice até 5-8 µm; células do perídio firmemente ligadas, hialinas, irregularmente romboidais ou retangulares.

Sobre Cordia sp., Cascavel, espéc. nº 677 CCAM (SYDOW & SYDOW, 1924).

3. Cerotelium Arth., Bull. Torrey Bot. Club. 33:30 1906.

Espermogônios subcuticulares. Êcios subepidérmicos, irrompentes, com perídio, ecidióides; eciôsporos catenulados, verrucosos. Uredossoros subepidérmicos, levemente irrompentes, com parâfises periféricas unidas basalmente ou ausentes; uredôsporos pedicelados, equinulados. Teliôssoros subepidérmicos, irrompentes; teliôsporos unicelulares, catenulados, em cadeias de 2 a vários esporos mais ou menos livres lateralmente, de parede pálida; basídio externo.

Espécie Tipo: Cerotelium canavaliae Arth.

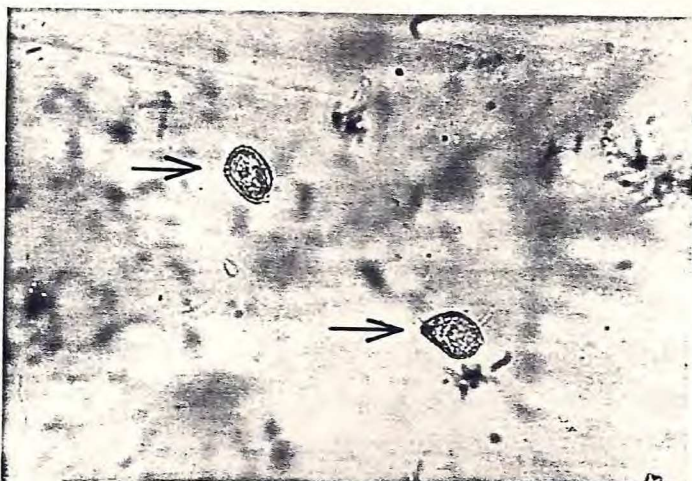


FIGURA 3 - Uredósporos de Cerotelium fici (400X).

MORACEAE

3.1. *Cerotelium fici* (Butl.) Arth.

(*Kuehneola fici* Butl., *Physopella fici* (Cast.) Arth.
Uredo fici Cast.)

Uredósporos hipófilos, numerosos, punctiformes, isolados ou confluentes, pulverulentos, castanho-claros, rompendo tardiamente a epiderme na parte central, formando manchas anfígenas, marrom-negras, medindo de 0,5 - 5,0 mm; uredósporos (Figura 3) amarelo-claros, predominantemente obovoides, 20-27 x 17-23 µm, parede equinulada, poros indistintos; paráfises não observadas.

Sobre *Ficus carica* L. (Figueira), Fortaleza, espéc. nº 375 CCAM; Morada Nova, espéc. nº 257 CCAM (BATISTA & BEZERRA, 1960; BATISTA et alii, 1966; GALLEGOS & CUMMINS, 1981b; VIEGAS, 1945a).

4. Chaconia Juel, Bihang. K. Svenska Vet. Akad. Handl. 23:12
1897.

Espermogônios subcuticulares. Écios subepidérmicos, irrompentes, uredinóides, com paráfises; eciósporos pedicelados, equinulados ou verrucosos. Uredossoros idênticos aos écios, mas nunca acompanhados de espermogônios; uredósporos idênticos aos eciósporos. Teliossoros subepidérmicos, irrompentes; teliósporos unicelulares, lateralmente livres, sésseis e agrupados sobre células basais esporogênicas; parede pálida, poro germinativo apical quando diferenciado; basídio externo.

Espécie Tipo: Chaconia alutacea Juel

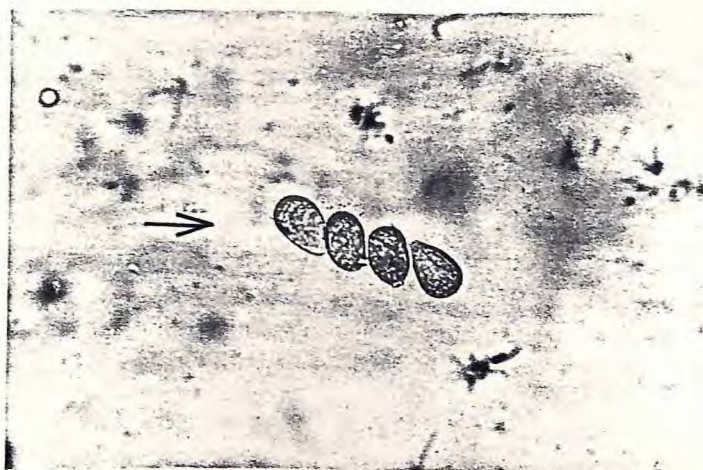


FIGURA 4 - Uredósporos de Chaconia ingae (400X).

LEGUMINOSAE

4.1. Chaconia ingae (Syd.) Cumm.

(Bitzea ingae (Syd.) Mains; Ravenelia ingae (P.Henn.) Arth.; Uredo ingae P. Henn.)

Uredossoros hipófilos, irrompentes, negros, diminutos, formados sobre manchas escuras de até 6mm de diâmetro; uredósporos (Figura 4) amarelo-claros, globosos ou obovoídes, medindo 17-23 x 17-20 µm, parede espessa, 2,5 - 3,0 µm, fortemente equinulada no ápice, dotados de 3-4 poros germinativos equatoriais.

Sobre Inga sp. (Ingazeira), Baturité, espéc. nº 940 CCAM; U bajara, espéc. nº 719 CCAM (CUMMINS, 1978).

5. Coleosporium Lév., Ann. Sci. Nat. III, ser. 8:373.1847.

Espermogônios subepidérmicos. Eciós subepidérmicos, irrompentes, com perídio, peridermióide; eciósporos catenulados, verrucosos. Uredossoros subepidérmicos, irrompentes; uredósporos catenulados, verrucosos, idênticos aos eciósporos. Telióssoros subepidérmicos, irrompentes; teliósporos sésseis, unicelulares, em camadas de 1 esporo ou catenulados, parede pálica; germinação pela divisão do protoplasto em um basídio interno de 4 células, cada uma produzindo um esterigma e um basidiósporo.

Espécie Tipo. Coleosporium rhinanthacearum (DC.)
Lév.

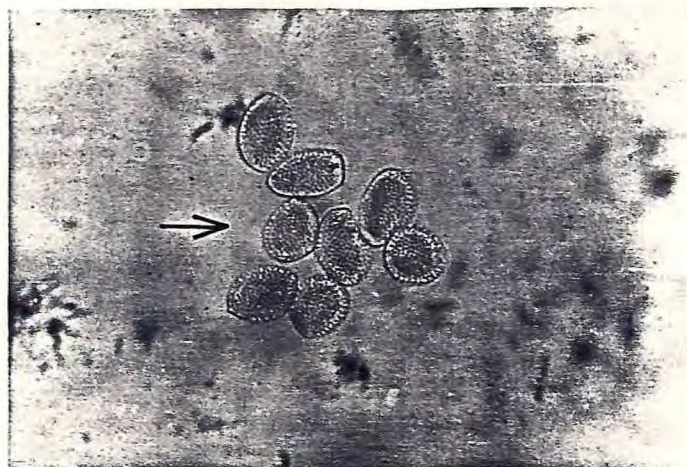


FIGURA 5 - Uredósporos de Coleosporium plumierae (400X).

APOCINACEAE

5.1. Coleosporium plumierae Pat.

Uredósporos anfígenos, raramente epífilos, irrompentes, amarelo-alaranjados, isolados ou confluentes, medindo 300 - 1500 μm , formando manchas na parte superior da folha, de cor castanha, medindo de 1-6 mm de diâmetro; uredósporos (Figura 5) amarelo-dourados, globosos, ovóides ou elipsóides, 23-30 x 20-23 μm , parede hialina, verrucosa, 2,0 μm de espessura, poros germinativos indistintos.

Sobre Plumeria alba L. (Jasmim do Pará), Fortaleza, espéc. nº 985 CCAM; Maracanaú, espéc. nº 992 CCAM (GALLEGOS & CUMMINS, 1981b; SYDOW & SYDOW, 1915).

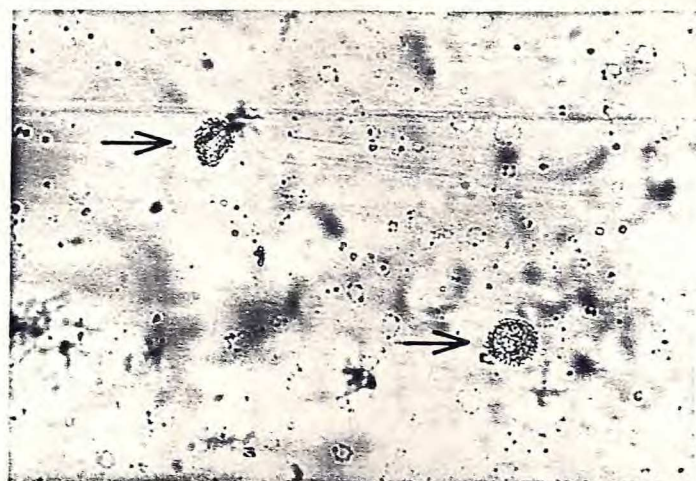


FIGURA 6 - Uredósporos de Coleosporium vernoniae
(400X).

COMPOSITAE

5.2. Coleosporium vernoniae Berk. & Curt.

(Coleosporium elephantopodis (Schw.) Thuem.;

(Uredo elephantopodis Schw.)

Uredossoros hipófilos, isolados ou agrupados, amarelo-esbranquiçados, 200 - 300 µm de diâmetro, formando manchas, na parte superior, de cor esbranquiçada, medindo de 0,5-3,0 mm de diâmetro; uredósporos (Figura 6) globosos a angulado-globosos, 20-23 x 17-23 µm, de coloração hialino-amarealada, parede hialina, verrucosa, 1,5 µm de espessura, poros indistintos.

Sobre Elephantopus sp. (Fumo bravo), Aquiraz, espéc. nº 206 CCAM; Fortaleza, espéc. nº 337 CCAM; Pacajus, espéc. nº 261 CCAM; Ubajara, espéc. nº 703 CCAM (SYDOW & SYDOW, 1915; VIÉ GAS, 1945a).

6. Crossopsora H. & P. Syd., Ann. Mycol. 16:243. 1919.

Espermogônios subcuticulares. Êcios subepidérmicos, abrindo-se por uma ruptura, semelhante a um poro, da epiderme do hospedeiro, sem perídio; eciósporos catenulados. Uredossores subepidérmicos, com parâfises periféricas normalmente septadas e unidas basalmente; uredósporos pedicelados, equinulados. Teliossoros subepidérmicos, tornando-se irrompentes na forma de colunas filiformes; teliósporos unicelulares, catenulados, sésseis, com os esporos firmemente unidos nas colunas, poros germinativos não observados, parede pálida; basídio externo.

Espécie Tipo: *Crossopsora zizyphi* (Syd. & Butl.) Syd.

MALPIGHIACEAE

Chave para Espécies de *Crossopsora* do Ceará

1. Uredósporos com a parede espessando-se no ápice até 13 μm ; parâfises com a porção livre não acuminada byrsonimatis
1. Uredósporos normalmente com a parede apresentando 2-4 μm de espessura; parâfises com a porção livre acuminada notata



FIGURA 7 - Uredósporos de Crossopsora byrsonimatis (400X).

6.1. *Crossopsora byrsonimatis* (P. Henn.) R.S. Peterson
Cronartium byrsonimatis P. Henn.)

Uredósporos hipófilos, irrompentes, castanhos, 300 - 500 μm de diâmetro; uredósporos (Figura 7) amarelo-claros, obovóides, ovóides ou aproximadamente globosos, 34-40 x 23-30 μm , parede fortemente equinulada, 2-4 μm , espessando - se no ápice até 13 μm , poros germinativos indistintos; paráfi-
ses hialinas, agrupadas, com a porção livre normalmente não acuminada.

Sobre Byrsonima sp., Crato, espéc. nº 892 CCAM (SYDOW & SY-
DOW, 1915).

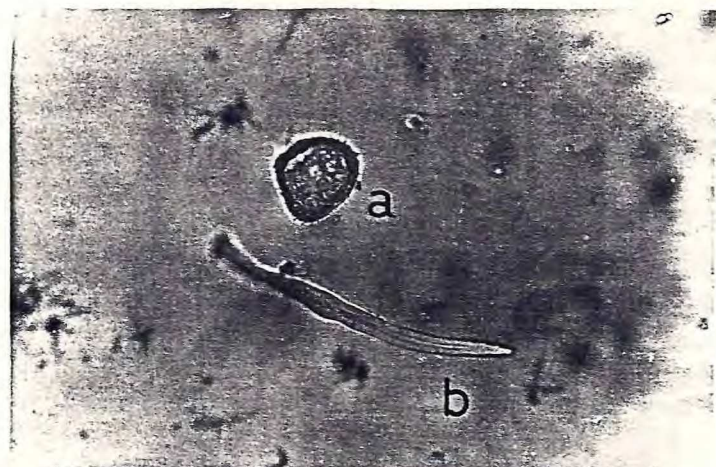


FIGURA 8 - a. uredósporo; b. paráfise de Crossopsora notata (400X).

6.2. Crossopsora notata (Arth. & J.R. Johnston) Arth.
(Uredo notata Arth.).

Uredossoros hipófilos, isolados ou agrupados, elevados, 100 - 200 μm , formando manchas castanho-negras na face superior, medindo de 0,5 - 3,0 mm de diâmetro. Uredósporos (Figura 8a) amarelo-esverdeados, elipsóides, obovóides ou globosos, 44-48 x 23-25 μm , parede forte e esparsamente equinulada, 2-4 μm de espessura, algumas vezes espessando-se um pouco no ápice, poros germinativos indistintos; paráfises (Figura 8b) hialinas, agrupadas, com a porção livre acuminada, medindo 85 μm de comprimento por 13 μm de largura.

Sobre Byrsonima crassifolia H.B.K. (Murici), Maranguape, espécie nº 695 CCAM (GALLEGOS & CUMMINS, 1981b; SYDOW & SYDOW, 1924).

7. Hemileia Berk. & Br., Gard. Chron. 1869:1157. 1869.

Espermogônios e ócios não conhecidos. Uredossoros subepidérmicos, tipicamente superrestomatais, raramente irrompentes; uredósporos pedicelados, equinulados, em grupos sobre células basais, tipicamente assimétricos com um lado reto ou côncavo e comumente liso. Teliossoros semelhantes aos uredossoros da espécie; teliósporos pedicelados, unicelulares, comumente mais largos do que altos, freqüentemente angulosos ou lobados, de paredes delgadas, poro germinativo não evidente, parede pálida; basídio externo.

Espécie Tipo: Hemileia vastatrix Berk. & Br.

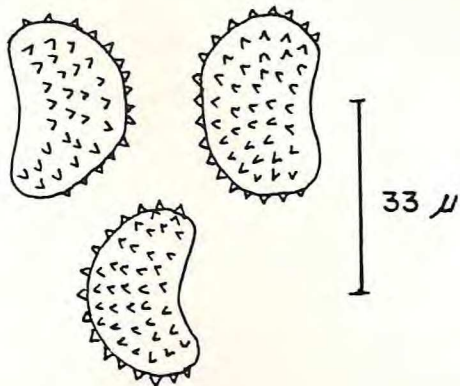


FIGURA 9 - Uredósporos de Hemileia vastatrix.

RUBIACEAE

7.1. Hemileia vastatrix Berk. & Br.

Uredósporos hipófilos, amarelos ou alaranjados, formando manchas anfígenas amareladas; uredósporos (Figura 9) assimétricos, reniformes, $27-31 \times 20-24 \mu\text{m}$, amarelo-claros, quase hialinos, parede delgada, $1,0 \mu\text{m}$ de espessura, fortemente equinulada na parte convexa e comumente lisa na parte côncava ou mais ou menos reta, poros germinativos indistintos.

Sobre Coffea arabica L. (Café), Pacoti, espéc. nº 284 CCAM; São Benedito, espéc. nº 210 CCAM; Ubajara, espéc. nº 666 CCAM (GALLEGOS E CUMMINS, 1981b; SYDOW & SYDOW, 1915).

8. Phakopsora Diet., Ber. Deutsch. Bot. Ges. 13:333. 1895.

Espermogônios subcuticulares. Êcios subepidérmicos, irrompentes, uredinóides; eciósporos pedicelados, equinulados. Uredossoros subepidérmicos, irrompentes, comumente com paráfises encurvadas, septadas basalmente, ou estas ausentes; uredósporos pedicelados, equinulados. Teliossoros subepidérmicos, não irrompentes, consistindo de camadas de esporos ligados lateralmente, com vários esporos em profundidade; telioísporos sésseis, não catenulados, arranjados irregularmente, unicelulares, com um poro germinativo, parede pigmentada; basídio externo.

Espécie Tipo: Phakopsora punctiformis (Diet. & Barch.) Diet.

EUPHORBIACEAE

Chave para Espécies de Phakopsora do Ceará

1. Uredossoros sem paráfises crotonis
1. Uredossoros com paráfises
clavadas, encurvadas jatrophicola

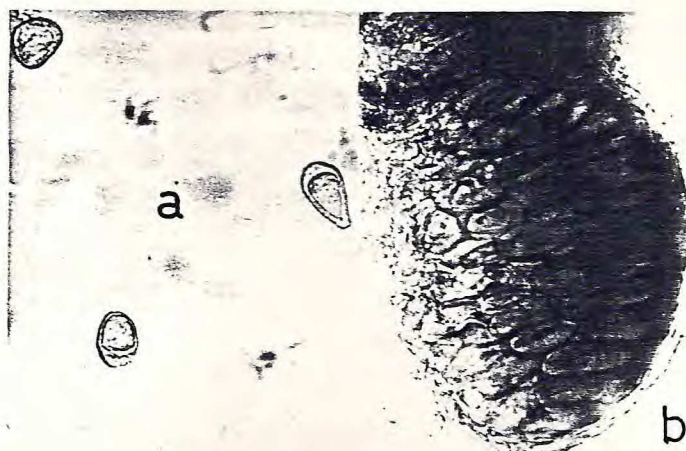


FIGURA 10 - a. uredósporos; b. teliosoro, mostrando telíosporos não catenulados de Phakopsora crotonis (400X).

8.1. Phakopsora crotonis (Burr.) Arth.

(Bubakia crotonis (Burr.) Arth.; Schroeteriaster crotonis (Burr.) Diet.)

Uredossoros anfígenos, na maioria hipófilos, castanhos, elevados, 100 - 150 μm de diâmetro, abrindo-se na extremidade por um poro, formando manchas negras, que medem de 1-2 mm de diâmetro; uredósporos (Figura 10a) amarelo-claros, globosos ou obovóides, 20-27 x 17-23 μm , equinulados, parede delgada, 1,5 μm , espessando-se no ápice até 7 μm , com 4 poros germinativos equatoriais. Teliosoros (Figura 10b) subepidérmicos, não irrompentes; telíosporos castanho-avermelhados, aproximadamente elipsóides, 20-32 x 12-16 μm , unicelulares, sésseis, em camadas, arranjados irregularmente, parede lisa.

Sobre Croton sp. (Marmeiro), Itapipoca, espéc. nº 981 CCAM (SYDOW & SYDOW, 1915; VIÉGAS, 1945a).

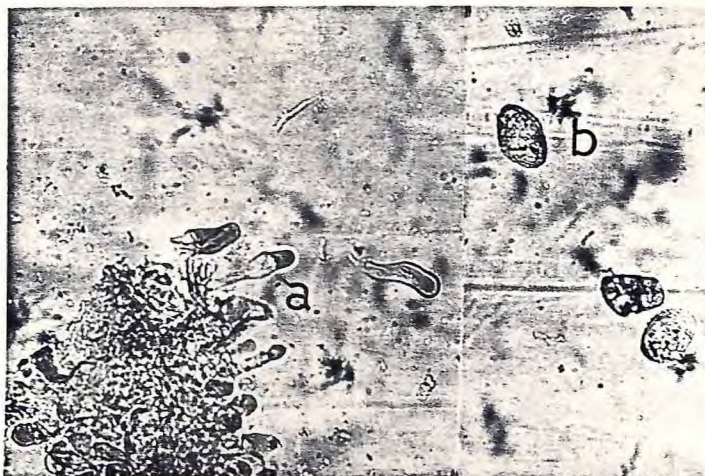


FIGURA 11 - a. paráfises; b. uredósporos de Phakopsora jatrophicola (400X).

8.2. Phakopsora jatrophicola Cumm. ex Cumm.
(Uredo jatrophicola Arth.)

Uredósporos hipófilos, isolados ou agrupados, cas tanhos, 100 - 200 μm de diâmetro, subepidérmicos, irrompen tes; uredósporos (Figura 11b) amarelo-claros, obovóides ou elipsóides, 23-36 x 17-20 μm , parede delgada, 1,0 μm de es pessura, diminutamente equinulada, com 4 poros germinativos equatoriais; paráfises (Figura 11a) encurvadas, clavadas, amarelo-claras, com a porção distal mais escura.

Sobre Jatropha pohliana Muel. Arg. (Pinhão bravo), Fortaleza, espéc. nº 256 CCAM (SYDOW & SYDOW, 1924; VIÉGAS, 1945a).

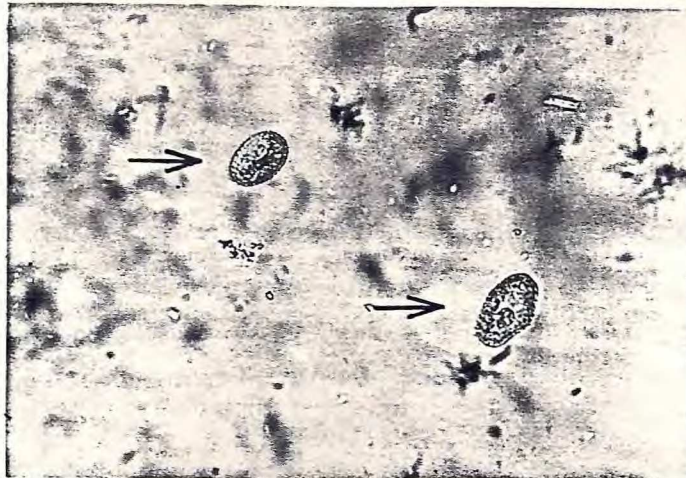


FIGURA 12 - Uredósporos de Phakopsora gossypii
(400X).

MALVACEAE

8.3. Phakopsora gossypii (Lagh.) Hirat. f.
(Cerotelium desmum Arth.; Kuehneola gossypii Arth.
Phakopsora desmum (Arth.) Cumm.; Phakopsora gossypii
Dale)

Uredósporos anfígenos, na maioria hipófilos, diminutos, isolados ou agrupados, 100 - 500 µm de diâmetro, sobre manchas castanhos, medindo de 0,5 - 2,0 mm de diâmetro; uredósporos (Figura 12) amarelo-claros, obovóides ou elipsóides; 20-27 x 17-18 µm, parede delgada, 1,0 µm de espessura, equinulada, com 2 poros germinativos equatoriais; paráfises curtas, clavadas, encurvadas, amarelo-claras.

Sobre Gossypium hirsutum L. (Algodeiro), Baturité, espéc. nº 446 CCAM; Fortaleza, espéc. nº 263 CCAM; Ipueiras, espéc. nº 403 CCAM; Pentecoste, espéc. nº 236 CCAM;
Gossypium sp. (Algodeiro), Quixadá, espéc. nº 137 CCAM (SYDOW & SYDOW, 1915).

9. Physopella Arth., Rés. Sci. Congr. Internat. Bot. Wien
p. 338. 1906.

Espermogônios subcuticulares. Écios subepidérmicos, irrompentes, com perídio, ecidióides; eciósporos catenulados, verrucosos. Uredossoros subepidérmicos, irrompentes, comumente com paráfises periféricas, encurvadas e normalmente unidas basalmente; uredósporos pedicelados, equinulados. Teliossoros subepidérmicos, comumente não irrompentes, consistindo de camadas de esporos lateralmente unidos; teliósporos catenulados, unicelulares, sésseis, poro germinativo não evidente, parede pigmentada; basídio externo.

Espécie Tipo: Physopella vitis Arth.



FIGURA 13 - a. paráfises; b. uredósporos de Physopella compressa (400X).

GRAMINEAE

9.1. Physopella compressa (Mains) Cumm. & Ramachar
(Angiopsora compressa Mains)

Uredossoros anfígenos, alongados, irrompentes, amarelados, medindo de 100 - 200 μm de diâmetro; uredósporos (Figura 13b) amarelo-escuros, obovóides ou elipsóides, 23-27 x 20-23 μm , parede delgada, 1,0 μm de espessura, diminutamente equinulada, com 6-8 poros germinativos espalhados; paráfises (Figura 13a) encurvadas, cilíndricas, hialinas, abundantes.

Sobre Axonopus compressus Beauv. (Capim de roça), Cascavel, espéc. nº 714 CCAM;

Paspalum conjugatum Berg., hiperparasitado por Darluca filum (Biv.) Cast. (Figura 14), Cascavel, espéc. nº 1007 CCAM (CUMMINS, 1971, GALLEGOS & CUMMINS, 1981b).

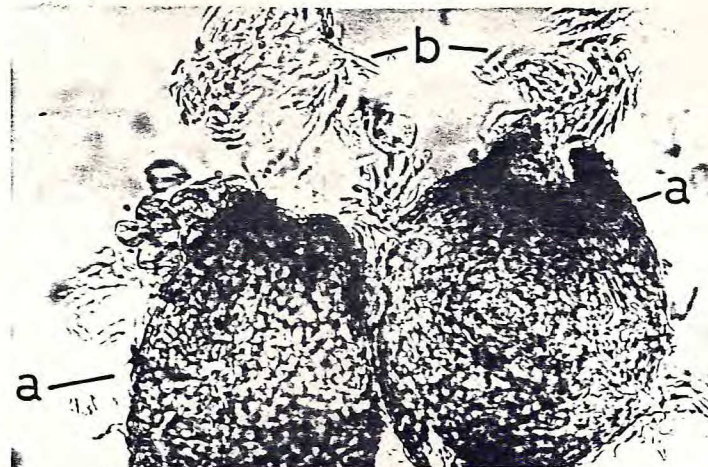


FIGURA 14 - a. picnidios; b. conídios de Darluca filum (400X).

10. Prospodium Arth., J. Mycol. 13:31. 1907.

Espermogônios subcuticulares. Écios subepidérmicos, irrompentes; eciósporos pedicelados, comumente equinulados, semelhantes aos uredósporos da espécie. Uredossoros subepidér micos, tornando-se irrompentes em algumas espécies ou emergindo através das câmaras estomáticas, normalmente com paráfises; uredósporos pedicelados, comumente equinulados, dotados de paredes simples ou bilaminadas. Teliossoros semelhantes aos uredossoros da espécie; teliósporos pedicelados, freqüentemente dotados de apêndices na base dos pedicelos, bicelulares com um septo horizontal, dotados de um poro germinativo em cada célula, parede pigmentada; basídio externo.

Espécie Tipo: Prospodium appendiculatum (Wint) Arth.

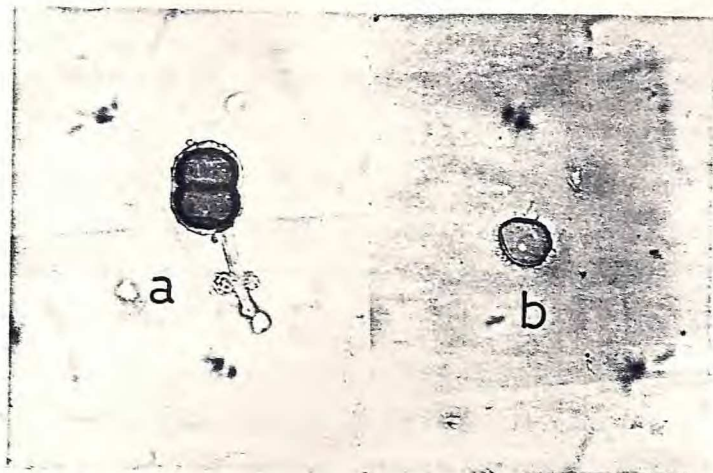


FIGURA 15 - a. teliosporo; b. uredosporo de Prospodium tecomicola (400X).

BIGNONIACEAE

10.1 Prospodium tecomicola (Speg.) Jacks. & Holw.
(Puccinia tecomicola Speg.)

Uredossoros hipófilos, castanhos, punctiformes, extra-estomatais; uredósporos (Figura 15b) amarelados, obovoídes, 20-23 x 17-20 μm , parede dotada de equínulas longas, com 2 poros germinativos equatoriais. Teliósporos (Figura 15a) variando de castanho-amarelados a castanho-avermelhados, bicolares, elipsóides, constritos no septo, 31-37 x 27-30 μm , parede bilaminada, sendo a mais externa hialina, equinulada; pedicelos persistentes, amarelo-claros, longos, trazendo próximo à base duas dilatações ou apêndices.

Sobre Tabebuia serratifolia (Vahl) Nicholson (Pau D'Arco Amarelo), Ibiapina, espéc. nº 706 CCAM (VIÉGAS, 1945a).

11. Puccinia Pers., Syn. Meth. Fung. p. 225. 1801.

Espermogônios subepidérmicos, globosos. Écios subepidérmicos, irrompentes, ecidióides, com esporos catenulados ou uredinóides, com eciósporos pedicelados. Uredossoros subepidérmicos, irrompentes; uredósporos pedicelados, comumente equinulados. Teliossoros subepidérmicos, irrompentes na maioria das espécies, mas, cobertas pela epiderme em algumas espécies; teliosporos pedicelados, tipicamente bicelulares, com um septo horizontal, ocasionalmente com 1, 3 ou 4 células, dotados de um poro germinativo em cada célula, parede comumente pigmentada; basídio externo.

Espécie Tipo: Puccinia graminis Pers.

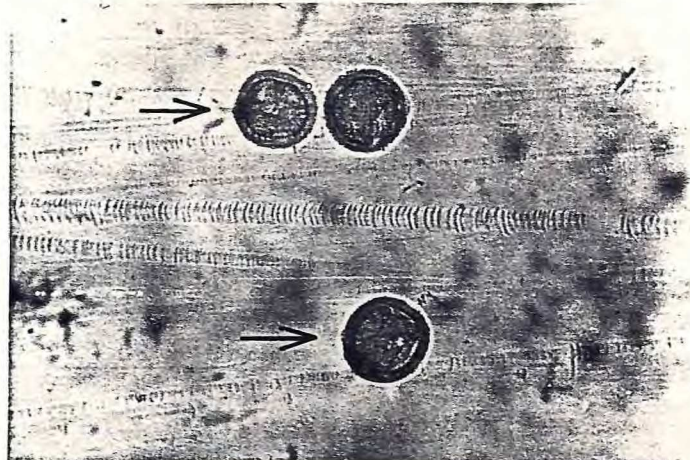


FIGURA 16 - Uredósporos de Puccinia mogiphanis
(400X).

AMARANTHACEAE

11.1. Puccinia mogiphanis Arth.

(Uredo mogiphanis Juel; Uredo telantherae Viégas)

Uredossoros anfígenos, na maioria hipófilos, castanhos, irrompentes, circulares, alongados junto às nervuras, formando manchas amareladas de até 2 mm de diâmetro; uredósporos (Figura 16) variando de amarelo-dourados a amarelo-eucros, globosos, obovóides ou elipsóides, algumas vezes angulosos, parede espessa, até 4,0 μm , verrucoso-equinulada, com 4-6 poros germinativos espalhados.

Sobre Alternanthera brasiliiana (L.) Kuntze; Baturité, espéc. nº 908 CCAM; Serra da Meruoca, espéc. nº 909; Alternanthera polygonoide R. Br. var. diffusa Mart. (Ervanço), Morada-Nova, espéc. nº 409 CCAM; A. puberula D. Dietr. (Ervanço), Fortaleza, espéc. nº 176 CCAM; Pacajus, espéc. nº 288 CCAM (LAUNDON, 1965; VIÉGAS, 1945a).

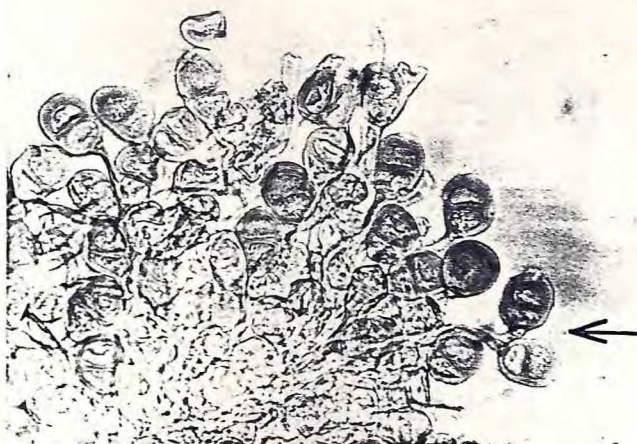


FIGURA 17 - Teliósporos de Puccinia obliqua (400X).

ASCLEPIADACEAE

11.2. Puccinia obliqua Berk. & Curt.

Teliossoros hipófilos, negros, agrupados, elevados; 300 - 500 μm de diâmetro, formando manchas amareladas, medindo até 4,0 mm de diâmetro; teliósporos (Figura 17) bicelulares, castanhos, aproximadamente globosos, 20-23 x 13-20 μm , parede lisa, 2,5 - 3,5 μm de espessura, até 5,0 μm no ápice; pedicelo amarelo-claro, longo, persistente, ligado, muitas vezes, obliquamente ao esporo; mesósporos em número reduzido, encontrados entre os teliósporos bicelulares.

Sobre Macroscepis sp., Quixadá, espéc. nº 348 CCAM (GALLEGOS & CUMMINS, 1981a).

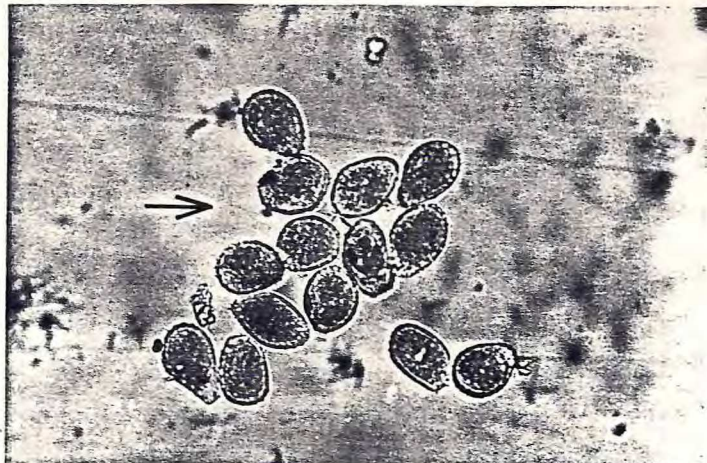


FIGURA 18 - Uredósporos de Puccinia thalliae (400X).

CANNACEAE

11.3. Puccinia thalliae Diet.

(Puccinia cannae P. Henn.; Uredo cannae Wint.)

Uredossoros anfígenos, na maioria hipófilos, amarelo-alaranjados, tardivamente irrompentes, 100 - 500 µm de diâmetro; uredósporos (Figura 18) amarelo-dourados, obovóides ou piriformes, 27-34 x 20-23 µm, parede equinulada, 2 µm de espessura, com poros germinativos indistintos.

Sobre Canna indica L. (Cana-da-Índia), Fortaleza, espéc. nº 258 CCAM (BATISTA et alii, 1966, GALLEGOS & CUMMINS, 1981a ; VIÉGAS, 1945a).

COMPOSITAE

Chave para Espécies de Puccinia do Ceará

1. Uredossoros formados 2
1. Uredossoros não formados, espécie microcíclica cnicio-oleracei
2. Teliósporos com parede lisa 3
2. Teliósporos com parede verrucosa conoclini
3. Teliósporos com pedicelos hialinos,
medindo até 150 µm de comprimento helianthi
3. Teliósporos com pedicelos amarelados,
medindo até 60 µm de comprimento verbesinae

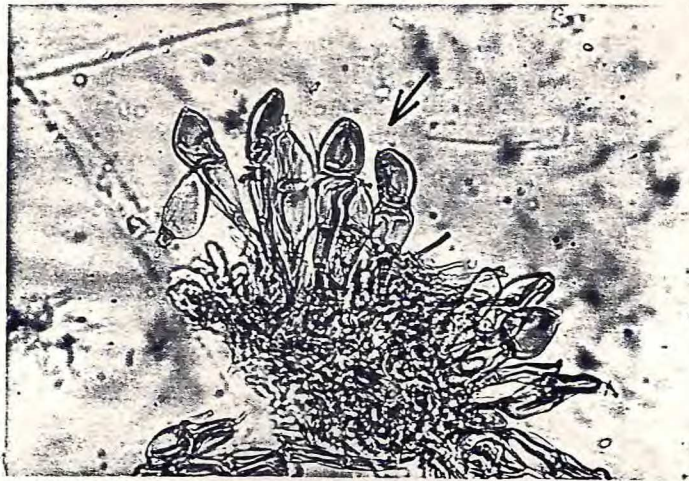


FIGURA 19 - Teliósporos de Puccinia cnici-oleracei (400X).

11.4. Puccinia cnici-oleracei Pers. ex Desm.

(Puccinia acanthospermi P. Henn; Puccinia emiliae P. Henn.; Puccinia melampodii Diet. & Holw.; Puccinia spilanthis P. Henn.)

Teliosporos anfígenos, na maioria hipófilos, castanhos-escuros, quase negros, isolados ou agrupados, algumas vezes dispostos em círculos concêntricos, compactos, 100 - 500 µm de diâmetro; teliósporos (Figura 19) variando de amarelo-claros a pardo-amarelados, oblongos, constrictos no septo, 40-51 x 17-24 µm, com a célula basal às vezes muito mais longa do que a distal, parede lisa, 1,5 - 2,0 µm, espessando-se no ápice até 10 µm; pedicelo persistente, variando de amarelo-claro a pardo-amarelado, até 50 µm de comprimento, normalmente mais curtos.

Sobre Acanthospermum brasiliense Schrank (A. xanthioides DC.) , Fortaleza, espéc. nº 221 CCAM; Emilia sonchifolia DC., Fortaleza, espéc. nº 273 CCAM; Pacajus, espéc. nº 322 CCAM; Spilanthes acmella Murr. (Agrião), Fortaleza, espéc. nº 178 CCAM; Ibiapina, espéc. nº 243 CCAM (BATISTA et alii, 1966; CUMMINS, 1978; GALLEGOS & CUMMINS, 1981a; SYDOW & 1904; VIÉGAS, 1945a).

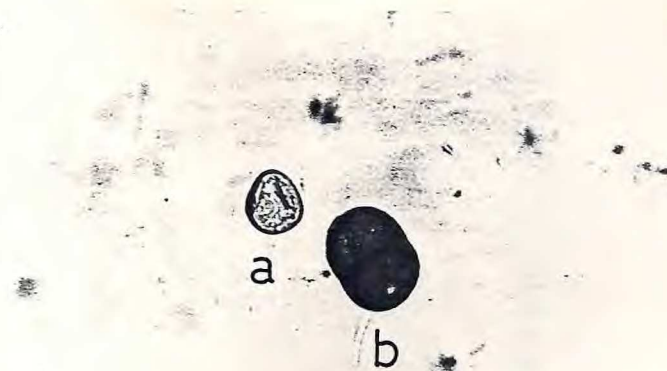


FIGURA 20 - a. uredósporo; b. teliósporo de Puccinia conocephali (400X).

11.5. Puccinia conocephali Seym. ex Burr.

Uredossoros hipófilos, castanho-claros; uredósporos (Figura 20a) amarelo-escuros, obovóides ou globosos, 27-30 x 23-27 μm , parede equinulada, delgada, 1,0 μm de espessura, com 2 poros germinativos equatoriais. Teliossoros negros, hipófilos; teliósporos (Figura 20b) aproximadamente elipsóides, 44-46 x 27-34 μm , parede verrucosa, 2,5 - 3,5 μm de espessura, até 8 μm no ápice, castanho-avermelhados, com uma papila apical mais clara; pedicelo persistente, hialino, até 3 vezes o comprimento do esporo.

Sobre Eupatorium ballotaefolium H.B.K. (Maria Preta Verdadeira), Baturité, espéc. nº 882 CCAM;
Eupatorium sp., Baturité, espéc. nº 887 CCAM (CUMMINS, 1978).

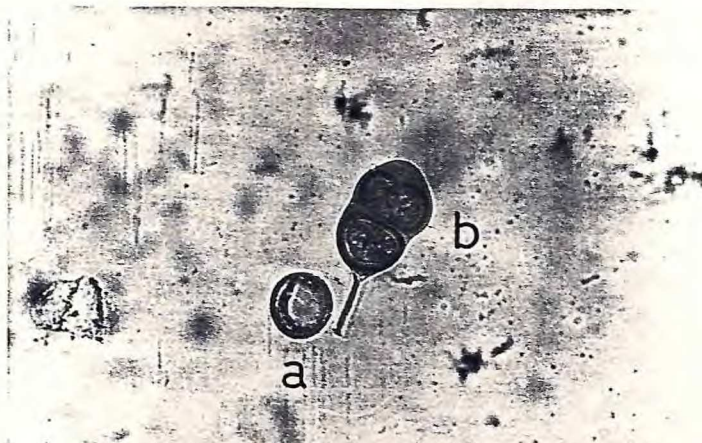


FIGURA 21 - a. uredósporo; b. teliósporo de Puccinia helianthi (400X).

11.6. Puccinia helianthi Schw.

Uredossoros anfígenos, castanhos, 100 - 800 μm de diâmetro; uredósporos (Figura 21 a) amarelo-claros, globosos ou obovóides, 30-34 x 28-30 μm , parede equinulada, delgada, 1,5 μm de espessura, com 2 poros germinativos equatoriais. Telirossoros anfígenos, negros, compactos, elevados, 0,5 - 1,5 mm de diâmetro; teliosporos (Figura 21b) castanhos, aproximadamente elipsóides, 51-57 x 27-34 μm , parede lisa, 1,5 a 2,0 μm , espessando-se no ápice, de coloração mais clara, até 8 μm ; pedicelo hialino, persistente, até 150 μm de comprimento.

Sobre Helianthus annuus L. (Girassol), Lima Campos, espéc. nº 183 CCAM; Maranguape, espéc. nº 376 CCAM (CUMMINS, 1978; GALLEGO & CUMMINS, 1981a; SYDOW & SYDOW, 1904).

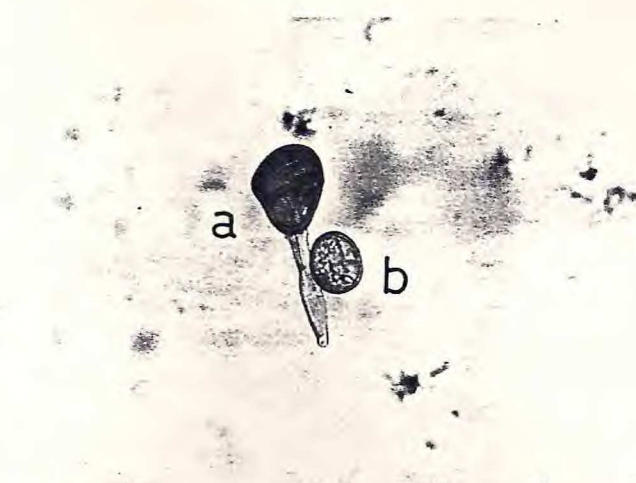


FIGURA 22 - a. teliósporo; b. uredósporo de Puccinia verbesinae (400X).

11.7. Puccinia verbesinae Schw.

Uredossoros anfígenos, na maioria hipófilos, castanhos-claros, 0,5 - 1,0 mm de diâmetro; uredósporos (Figura 22b) amarelo-escuros, obovóides, 23-30 x 23-27 μm , parede delgada, 1,5 μm de espessura, diminutamente equinulada, com 2 poros germinativos subequatoriais ou equatoriais. Teliosso-ros na maioria hipófilos, negros, expostos, pulverulentos, 100 - 300 μm , até 0,5 - 1,5 mm, quando agrupados; teliósporos (Figura 22a) bicelulares, castanhos, aproximadamente elipsóides, 37-44 x 27-30 μm , parede lisa, 2,0 - 3,0 μm , espessando-se no ápice, de coloração mais clara, até 8 μm ; pedicelo amarelado, medindo até 65 μm de comprimento.

Sobre Verbesina diversifolia DC., Aratuba, espéc. nº 881 CCAM; Ibiapina, espéc. nº 692 CCAM (CUMMINS, 1978; SYDOW & SYDOW, 1904; VIÉGAS, 1945a).

CONVOLVULACEAE

Chave para Espécies de Puccinia do Ceará

1. Apenas eciósporos presentes distinguenda
1. Apenas uredósporos presentes lithospermi

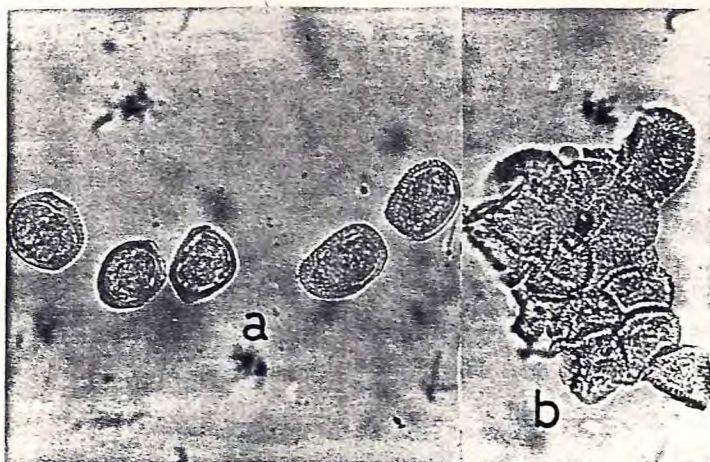


FIGURA 23 - a. eciōsporos; b. grupo de células do perídio de Puccinia distinguenda (400X).

11.8. Puccinia distinguenda (P. & H. Syd.) Jacks. & Holw.
(Aecidium distinguendum P. & H. Syd.)

Écios anfígenos, na maioria hipófilos, esbranquiçados, medindo de 2,0 - 6,0 mm de diâmetro, eciōsporos (Figura 23a) hialinos, aproximadamente globosos ou elipsóides, apresentando-se angulosos, 37-41 x 28-31 µm, parede verrucosa, 1,5 µm, espessando-se no ápice até 8 µm; células peridiais (Figura 23b) agrupadas, aproximadamente rombooidais ou retangulares.

Sobre Ipomoea batatas Poir. (Batata doce), Morada Nova, espéc. nº 251 CCAM;

Ipomoea crassicaulis Robinson, Morada Nova, espéc. nº 381 CCAM; Pentecoste, espéc. nº 237 CCAM;

Ipomoea fistulosa Mart. ex Choisy (Canudo ou Canudo de Lagoa), Fortaleza, espéc. nº 368 CCAM; (BATISTA et alii, 1966; JACKSON, 1931b; SYDOW & SYDOW, 1924).

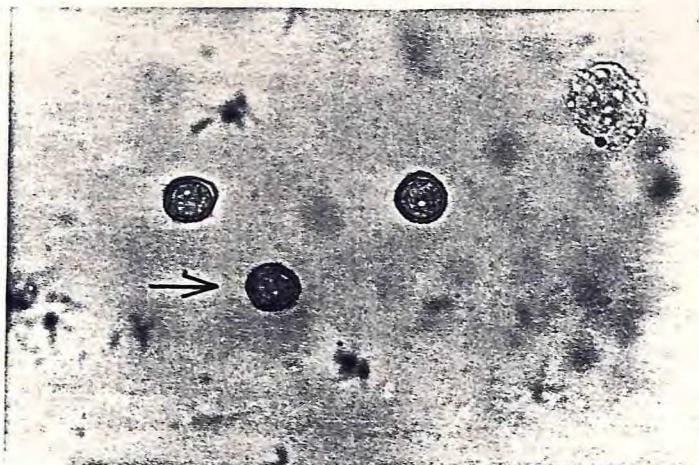


FIGURA 24 - Uredósporos de Puccinia lithospermi
(400X).

11.9. Puccinia lithospermi Ell. & Kell.
(Uredo evolvuli Speg.)

Uredósporos anfígenos, castanhos, irrompentes, isolados, circulares, pulverulentos, 100 - 500 μm de diâmetro; uredósporos (Figura 24) amarelo-escuros, elipsóides, obovóides ou subglobosos, 20-24 x 17-21 μm , parede equinulada, 2,5 μm de espessura, dotados de 2 poros germinativos equatoriais.

Sobre Evolvulus sp., Pacajus, espéc. nº 453 CCAM (SACCARDO, 1888; SYDOW & SYDOW, 1924).

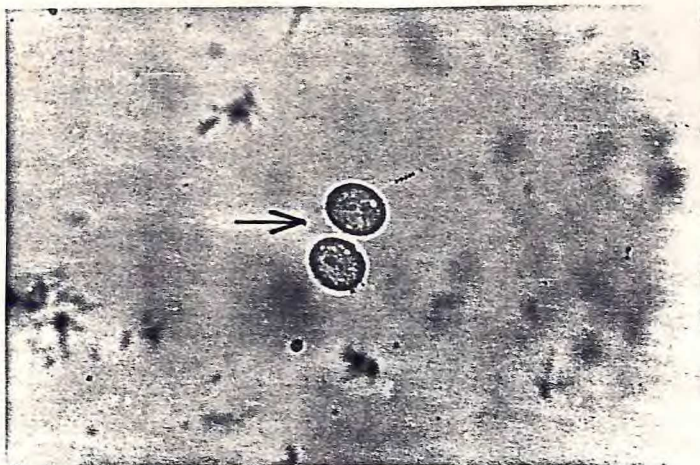


FIGURA 25 - Uredósporos de Puccinia cucumeris
(400X).

CUCURBITACEAE

11.10. Puccinia cucumeris P. Henn.

Uredossoros anfígenos, maioria hipófilos, isolados ou em grupos, esbranquiçados, formando manchas alongadas, medindo de 2,0 a 3,0 mm; uredósporos (Figura 25) globosos ou de forma irregular, angulosos, amarelados, 24-28 x 20-24 µm, parede equinulada, delgada, dotados de 2 poros germinativos equatoriais.

Sobre Cucumis anguria L. (Maxixe), Morada Nova, espéc. nº 199 CCAM; Pacajus, espéc. nº 291 CCAM; Quixadá, espéc. nº 265 CCAM (SYDOW & SYDOW, 1904; VIÉGAS, 1945a).

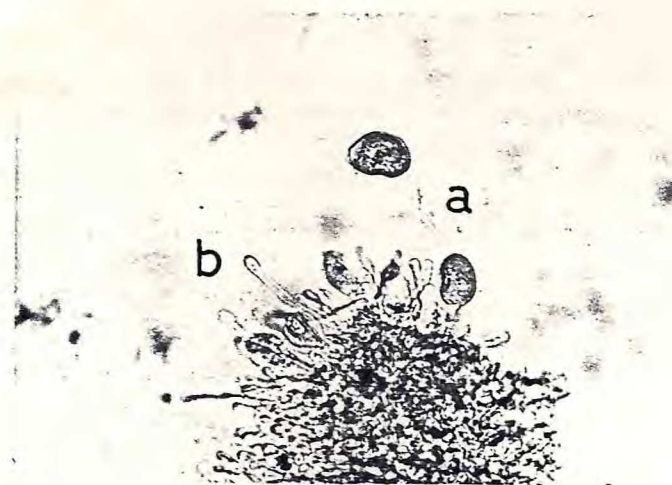


FIGURA 26 - a. uredósporos; b. paráfises de Puccinia cyperi (400X).

CYPERACEAE

11.11. Puccinia cyperi Arth.

(Uredo kyllingiae P.Henn.)

Uredossoros anfígenos, na maioria hipófilos, castanhos-claros, alongados, 0,5 - 2,5 mm de comprimento; uredósporos (Figura 26a) variando de amarelo-dourados a amarelo-claros quase hialinos, ovoídes, elipsóides ou aproximadamente globosos, 20-34 x 17-24 μm , parede equinulada, 1,5 - 2,0 μm de espessura, com 2-4, geralmente 3, poros germinativos e quatoriais; paráfises (Figura 26b) cilíndricas, hialinas, agrupadas.

Sobre Cyperus sp., hiperparasitado por Darluca filum (Biv.) Cast., Cascavel, espéc. nº 225 CCAM; Kyllinga odorata Vahl (Capim barba de bode), Fortaleza, espéc. nº 194 CCAM (GALLEGOS & CUMMINS, 1981a; LINDQUIST, 1960; SYDOW & SYDOW, 1904; SYDOW & SYDOW, 1924; VIÉGAS, 1945a).

GRAMINEAE

Chave para Espécies de Puccinia do Ceará

1. Uredossoros com parâfises 2
1. Uredossoros sem parâfises 6
2. Parâfises capitadas ou clavadas 3
2. Parâfises cilíndricas dolosa var. circundata
3. Uredossoros com parâfises capitadas 4
3. Uredossoros com parâfises clavadas 5
4. Uredósporos com 5-8 poros espalhados
ou bizonados purpurea
4. Uredósporos com 4-5 poros equatoriais posadensis
5. Uredósporos com número de poros
constante, 4 equatoriais chaseana
5. Uredósporos com 5-8 poros
espalhados ohahuensis
6. Uredósporos com 2-3 poros equatoriais 7
6. Uredósporos com maior número de poros
germinativos ou de poros indistintos 8
7. Uredósporos equinulados cenchri
7. Uredósporos verrucosos cynodontis
8. Uredósporos com 3-4 poros germinativos
ou de poros indistintos 9
8. Uredósporos com 4-5 poros equatoriais polysora
9. Uredósporos com parede
verrucosa aristidae var. chaetariae
9. Uredósporos com parede equinulada 10
10. Teliossoros com numerosos mesósporos huberi
10. Teliossoros sem mesósporos 11
11. Uredósporos com 4 poros equatoriais pappophori
11. Uredósporos com 3-4 poros super-
equatoriais ou equatoriais sorghii

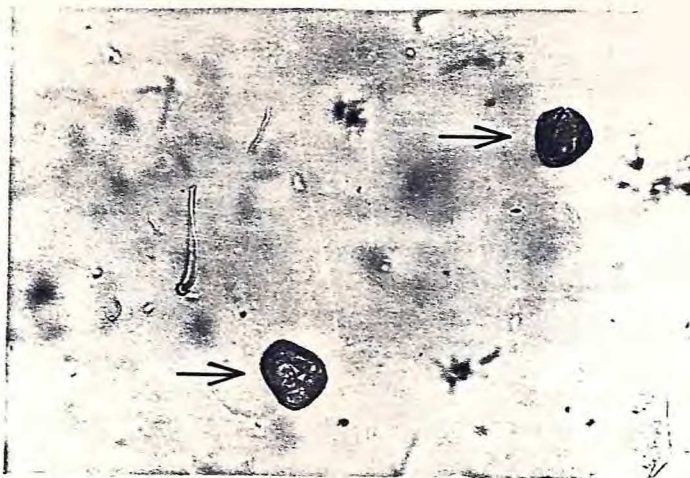


FIGURA 27 - Uredósporos de Puccinia dolosa var. circundata (400X).

11.12. Puccinia dolosa Arth. & Fromme var. circundata(Mains)
Ramachar & Cumm.
(Puccinia circundata Mains)

Uredossoros hipófilos, formando pústulas alongadas de cor castanho-escura; uredósporos (Figura 27) amarelo-dourados, obovóides ou globoso -triangulares, 27-30 x 23-30 μm , pa rede diminutamente equinulada, 1,5 μm de espessura, dotados de 3 poros germinativos equatoriais; paráfises hialinas, cilíndricas.

Sobre Panicum maximum Jacq. (Capim Colonião), hiperparasitado por Darluca filum (Biv.) Cast., Baturité, espéc. nº 967 CCAM (CUMMINS, 1971).

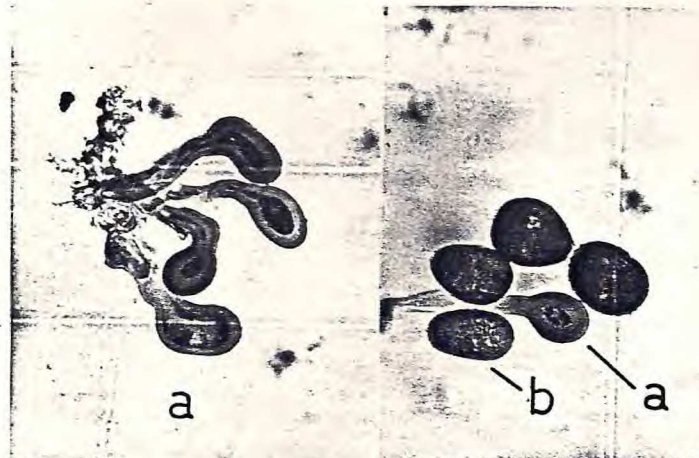


FIGURA 28 - a. parâfises; b. uredósporos de Puccinia purpurea (400X).

11.13. Puccinia purpurea Cke.

Uredósporos anfígenos, castanhos, irrompendes, formando pústulas alongadas, 0,5 - 1,0 mm, sobre manchas avermelhadas; uredósporos (Figura 28b) amarelo-escuros, obovóides, elipsóides ou globosos, algumas vezes angulares, 30-38 x 24-31 μm , parede equinulada, 1,5 - 2,0 μm , dotados de 5-8 poros germinativos espalhados ou bizonados, (Figura 28a); parâfises capitadas, amarelo-escuas, bastante características da espécie.

Sobre Sorghum sp., Aratuba, espéc. nº 912 CCAM; Sorghum vulgare Pers. var. sudanensis Piper (Capim sudão), Fortaleza, espéc. nº 151 CCAM; Sorghum vulgare Pers. (Sorghum bicolor (L.) Moench) (Sorgo), hiperparasitado por Darluca filum (Biv.) Cast., Fortaleza, espéc. nº 151 CCAM (CUMMINS, 1971, GALLEGOS & CUMMINS, 1981a; VIÉGAS, 1945a).

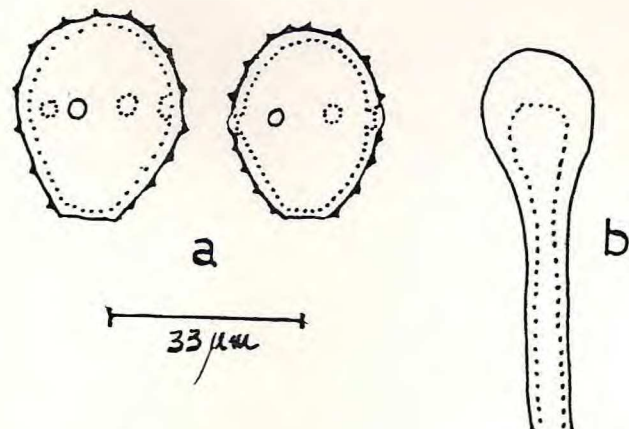


FIGURA 29 - a. uredósporos; b. paráfise de Puccinia posadensis.

11.14. Puccinia posadensis Sacc. & Trott.

Uredossoros anfígenos, castanhos, irrompentes; uredósporos (Figura 29a) amarelo-escuros, maioria obovóides, 30-34 x 23-28 μm , parede equinulada, 1,5 μm de espessura, dotados de 4-5 poros equatoriais; paráfises (Figura 29b) capitadas, variando de amarelo-claras a amarelo-escuras.

Sobre Andropogon condensatus H.B.K., (Capim rabo de raposa), Fortaleza, espéc. nº 716 CCAM (CUMMINS, 1971; GALLEGOS & CUMMINS, 1981a).

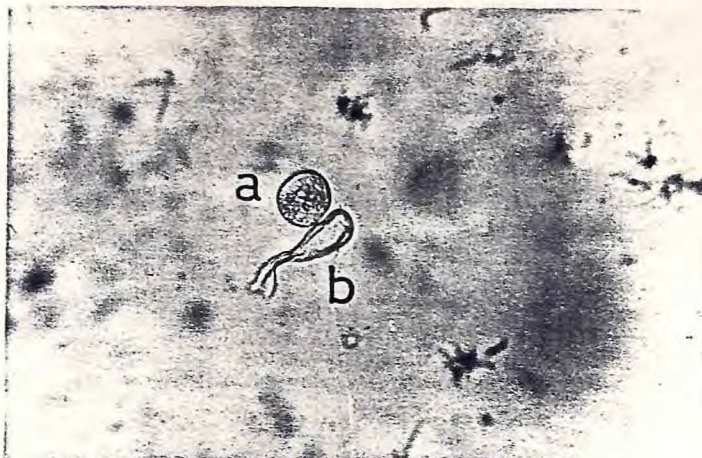


FIGURA 30 - a. uredósporo; b. paráfise de Puccinia chaseana (400X).

11.15. Puccinia chaseana Arth. & Fromme

Uredossoros anfígenos, na maioria hipófilos, castanhos, irrompentes, pulverulentos, 100 - 400 μm de diâmetro; uredósporos (Figura 30a) variando de amarelo-dourados a amarelo-escuros, ovóides, obovóides, globosos ou elipsóides, 20-27 x 20-24 μm , parede equinulada, 1,5 μm de espessura, dotados de 4 poros germinativos equatoriais; paráfises (Figura 30b) hialinas ou amarelo-claras, clavadas, encurvadas.

Sobre Antheaphora hermaphrodita (L.) Kuntze, Quixeramobim, espéc. nº 910 CCAM (CUMMINS, 1971).

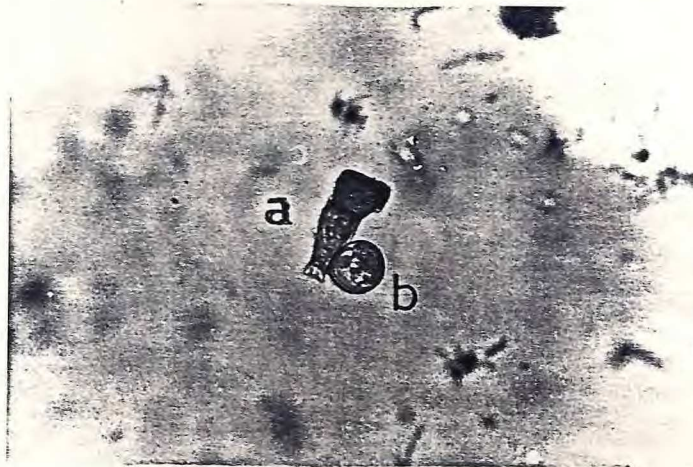


FIGURA 31 - a. teliósporo; b. uredósporo de Puccinia oahuensis (400X).

11.16. Puccinia oahuensis Ell. & Ev.

(Puccinia digitariae-velutinae Vien. - Bourg.)

Uredossoros anfígenos, irrompentes, amarelo-dourados, 200 - 500 μm de diâmetro, formando manchas avermelhadas; uredósporos (Figura 31b) amarelo-dourados, obovóides ou aproximadamente globosos, 20-27 x 20-23 μm , parede equinulada, 1,5 μm de espessura, com 5-8 poros germinativos espalhados. Telióssoros quase negros, compactos; teliósporos (Figura 31a) bicelulares, castanhos, maioria clavados, 36-46 x 17-24 μm , rede lisa, lobada no ápice; pedicelos curtos, persistentes, amarelos; paráfises clavadas, amarelo-douradas, encurvadas.

Sobre Digitaria horizontalis Willd. (Capim de roça), Pentecoste, espéc. nº 255 CCAM (CUMMINS, 1971).

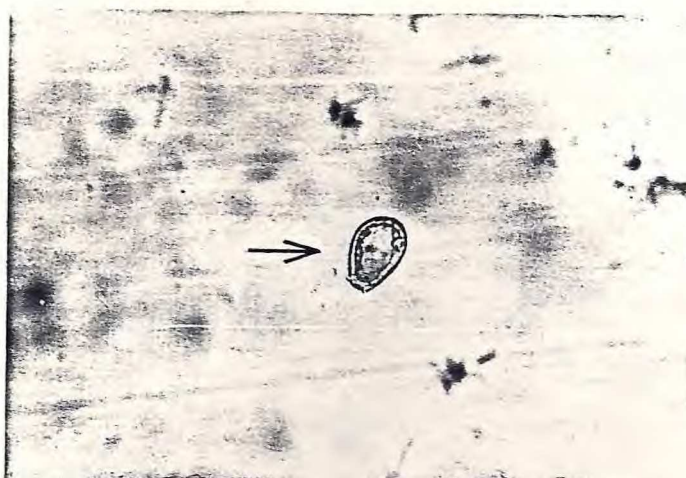


FIGURA 32 - Uredósporo de Puccinia cenchri (400X).

11.17. Puccinia cenchri Diet. & Holw.
(Uredo cenchriphila Speg.)

Uredossoros anfígenos, na maioria hipófilos, castanhos, 200 - 500 μm de diâmetro; uredósporos (Figura 32) amarelo-dourados, obovóides, elipsóides ou aproximadamente globosos, parede equinulada, 2,0 - 2,5 μm de espessura, com exínulas salientes e espaçadas, dotados de 2 poros germinativos equatoriais.

Sobre Cenchrus echinatus L. (Carrapicho), Barbalha, espéc. nº 170 CCAM; Fortaleza, espéc. nº 209 CCAM; Pentecoste, espéc. nº 286 CCAM; Quixabinha, espéc. nº 387 CCAM; Tauá, espéc. nº 292 CCAM (BATISTA & BEZERRA, 1960; CUMMINS, 1971; GALLEGOS & CUMMINS, 1981a; SYDOW & SYDOW, 1924; VIÉGAS, 1945a).

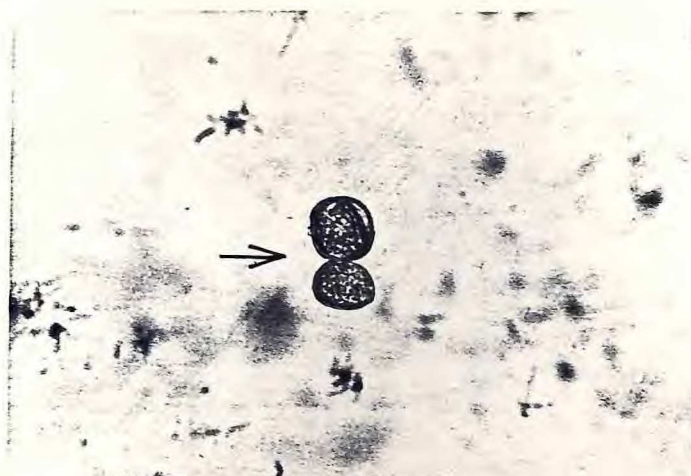


FIGURA 33 - Uredósporos de Puccinia cynodontis (400X).

11.18. Puccinia cynodontis Lacroix ex Desm.

Uredósporos hipúfilos, alongados, irrompentes, 0,5 - 1,0 mm; uredósporos (Figura 33) amarelo-dourados, aproximadamente globosos ou obovóides, 23-27 x 20-24 μm , parede verrucosa, aparentemente lisa, 2,0 - 2,5 μm de espessura, dotados de 2-3 poros germinativos equatoriais.

Sobre Cynodon dactylon (L.) Pers. (Capim de burro), Pentecoste, espéc. nº 358 CCAM; (CUMMINS, 1971; GALLEGOS & CUMMINS, 1981a; SACCARDO, 1888; VIÉGAS, 1945a).

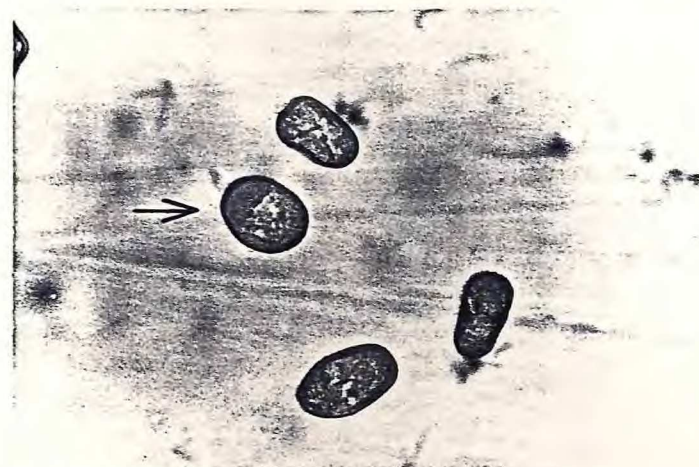


FIGURA 34 - Uredósporos de Puccinia polysora (400X).

11.19. Puccinia polysora Underw.

Uredósporos anfígenos, castanhos, irrompentes; uredósporos (Figura 34) amarelo-escuros, na maioria obovóides ou elipsóides, muitas vezes angulosos, 33-41 x 30-34 μm , parede equinulada, 1,5 μm de espessura, dotados de 4-5 poros germinativos equatoriais.

Sobre Zea mays L. (Milho), hiperparasitado por Darluca filum (Biv.) Cast., Fortaleza, espéc. nº 386 CCAM; Pentecoste, espéc. nº 174 CCAM (CUMMINS, 1971; GALLEGOS & CUMMINS, 1981a; SYDOW & SYDOW, 1904).

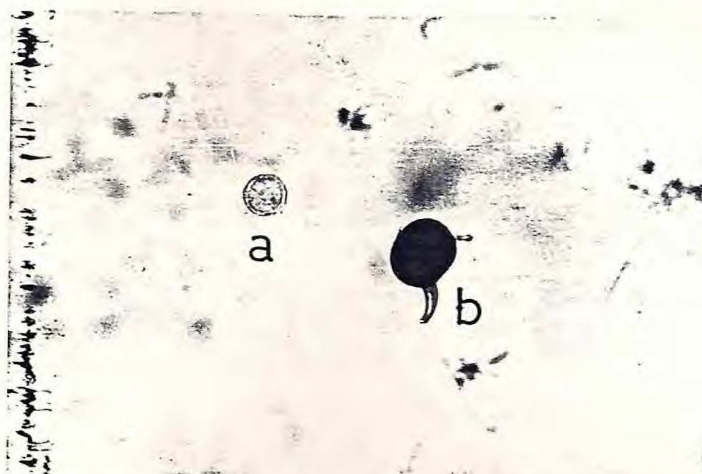


FIGURA 35 - a. uredósporo; b. teliósporo de Puccinia aristidae var. chaetariae (400X).

11.20. Puccinia aristidae Tracy var. chaetariae Cumm. & Husain

Uredossoros anfígenos, amarelo-escuros; uredósporos (Figura 35a) amarelados, obovóides ou elipsóides, 16-23 x 15-19 μm , parede verrucosa, 2,0 - 3,5 μm de espessura, com poros germinativos não distintos, possivelmente 3 equatoriais. Telióssoros anfígenos, na maioria hipófilos, irrompendes, compactos, marrom-negros, 0,5 - 1,0 mm de diâmetro; teliósporos (Figura 35b) castanho-escuros, obovóides ou elipsóides, bicelulares, 26-34 x 20-25 μm , parede lisa, 3-4 μm , espessando-se no ápice até 8 μm ; pedicelo persistente, variando de amarelo-claro a hialino, até 3 vezes o comprimento do esporo; mesósporos formados entre os esporos bicelulares.

Sobre Aristida setifolia H.B.K., Boa Viagem, espéc. nº 916 CCAM;

Aristida sp., Pedra Branca, espéc. nº 915 CCAM (CUMMINS, 1971; GALLEGOS & CUMMINS, 1981a).



FIGURA 36 - a. teliósporos; b. uredósporo de Puccinia huberi (400X).

11.21. Puccinia huberi P. Henn.

Uredossoros anfígenos, alongados, castanho-claros, medindo 100 - 500 μm ; uredósporos (Figura 36b) amarelo-dourados, obovóides ou aproximadamente globosos, 23-28 x 20-24 μm , parede equinulada, 1,5 μm de espessura, com 4 poros germinativos equatoriais. Teliossoros castanho-escuros, idênticos aos uredossoros; teliósporos bicelulares (Figura 36a), castanho-escuros, elipsóides, oblongos ou obovóides, 35-38 x 20-25 μm , parede lisa, 2,0 μm , espessando-se no ápice até 4 μm ; pedicelo amarelo-claro, persistente, curto, algumas vezes ligado lateralmente aos esporos; mesósporos presentes entre os esporos bicelulares.

Sobre Panicum microspermum Fourn. (Panicum trichoides Sw.) (Capim chuvisco), Fortaleza, espéc. nº 330 CCAM (CUMMINS, 1971; GALLEGOS & CUMMINS, 1981a).



FIGURA 37 - Uredósporo de *Puccinia pappophori*
(400X).

11.22. *Puccinia pappophori* Cumm.

Uredossoros anfigenos, alongados, castanhos, medindo 100 - 200 μm ; uredósporos (Figura 37) variando de amarelo-claro a amarelo-escuro, obovóides, subglobosos ou elipsóides, 25-34 x 23-27 μm , parede equinulada, 1,5 μm de espessura, dotados de 4 poros equatoriais.

Sobre *Pappophorum* sp., Pentecoste, espéc. nº 960 CCAM (CUMMINS, 1971).

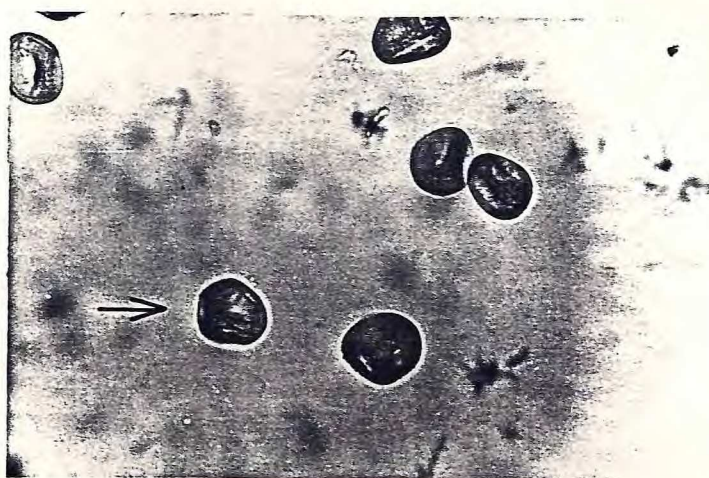


FIGURA 38 - Uredósporos de Puccinia sorghi (400X).

11.23. Puccinia sorghi Schw.

(Puccinia maydis Bereng.; Puccinia zae Bereng.)

Uredossoros anfígenos, castanhos, isolados, irrompentes, 0,5 - 1,0 mm de diâmetro; uredósporos (Figura 38) amarelo-dourados ou amarelo-escuros, maioria aproximadamente globosos ou obovóides, 23-27 x 17-23 µm, parede equinulada; 1,5 - 2,0 µm, dotados de 3-4 poros germinativos superequatoriais ou equatoriais.

Sobre Zea mays L. (Milho), hiperparasitado por Darluca filum (Biv.) Cast., Pacoti, espéc. nº 92 CCAM (CUMMINS, 1971; GALLEGOS & CUMMINS, 1981a; SYDOW & SYDOW, 1904; VIÉGAS, 1945a).

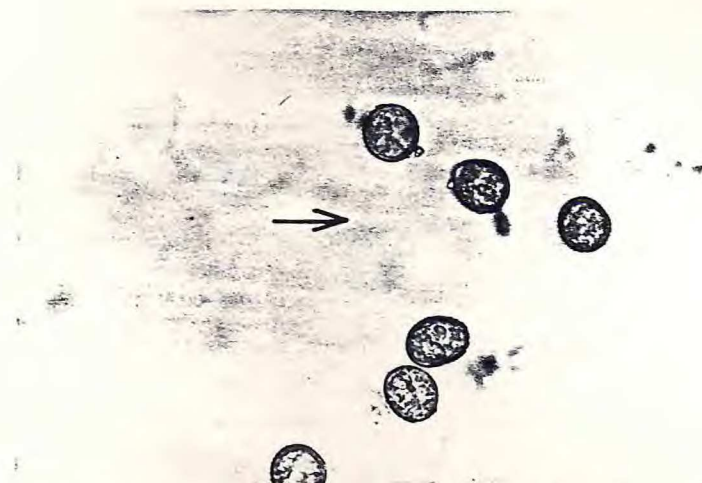


FIGURA 39 - Uredósporos de Puccinia heliconiae
(400X).

HELICONIACEAE

11.24. Puccinia heliconiae Arth.
(Uredo heliconiae Diet.)

Uredossoros hipófilos, castanhos, isolados ou confluentes, 100 - 500 µm de diâmetro, formando manchas escuras, na parte superior das folhas, alongadas; uredósporos (Figura 39) amarelo-claros, globosos, obovóides, piriformes ou elipsóides, 24-27 x 22-26 µm, parede equinulada, 1,5 - 2,0 µm de espessura, com 2 poros germinativos equatoriais.

Sobre Heliconia pendula Wawra (Pacavira), Maranguape, espéc. nº 372 CCAM (ARTHUR, 1918; BATISTA et alii, 1966; SYDOW & SYDOW, 1924; VIÉGAS, 1945a).

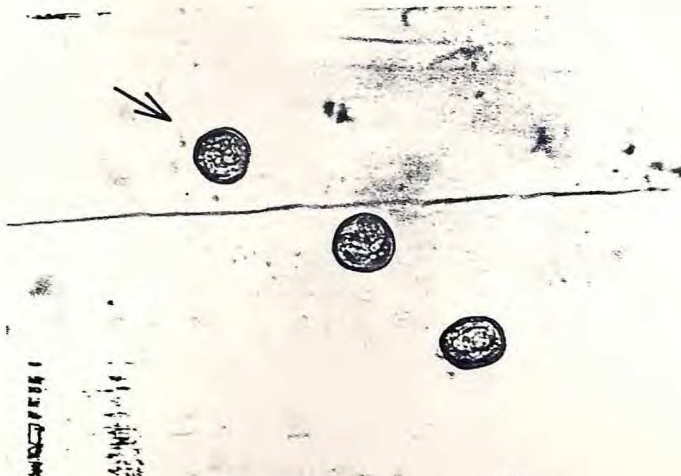


FIGURA 40 - Uredósporos de Puccinia leonotidicola (400X).

LABIATAE

11.25. Puccinia leonotidicola P. Henn.,
 (Puccinia leonotidis (P. Henn.) Arth.; Uredo leonotidi-
cola P. Henn; Uredo leonotidis P. Henn.)

Uredossoros anfígenos, castanhos, compactos, medindo 0,5 mm de diâmetro; uredósporos (Figura 40) amarelo-escuros, globosos, angulato-globosos ou elipsóides, 24-28 x 20-24 μm , parede equinulada, 1,0 - 1,5 μm de espessura, com 4-5 poros germinativos dispostos ao redor do ponto de inserção do pedicelo, quando vistos pela parte basal do esporo.

Sobre Leonotis sp., Aratuba, espéc. nº 900 CCAM (BATISTA & BEZERRA, 1960; GALLEGOS & CUMMINS, 1981a; VIÉGAS, 1945a).

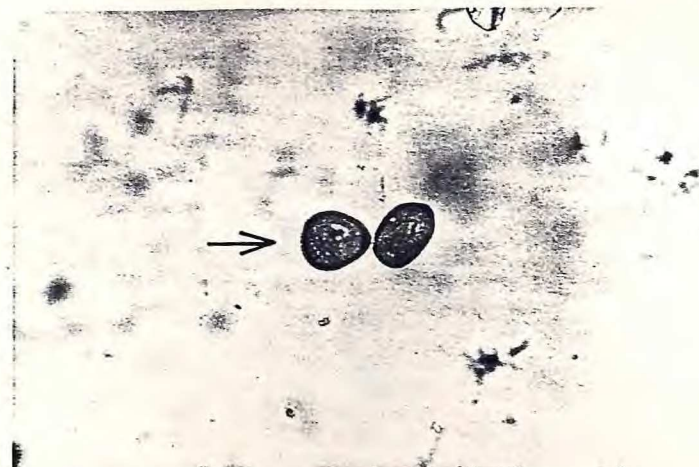


FIGURA 41 - Uredósporos de Puccinia arachidis
(400X).

LEGUMINOSAE

11.26. Puccinia arachidis Speg. (Uredo arachidis Lagh.)

Uredósporos anfígenos, na maioria hipófilos, castanhos, 300 - 500 µm de diâmetro; uredósporos (Figura 41) amarelo-escuros, globosos, obovóides ou elipsóides, 24-27 x 22-26 µm, parede equinulada, 1,5 - 2,0 µm de espessura, dotados de 2 poros germinativos equatoriais.

Sobre Arachis hypogaea L. (Amendoim), Capristano de Abreu, espéc. nº 185 CCAM; Pentecoste, espéc. nº 389 CCAM (GALLEGOS & CUMMINS, 1981a); SACCARDO, 1888; SYDOW & SYDOW, 1904).

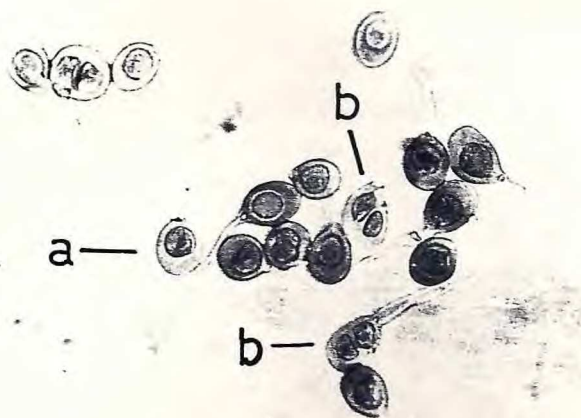


FIGURA 42 - a. mesósporos; b. teliósporos bicelulares de Puccinia heterospora (400X).

MALVACEAE

11.27. Puccinia heterospora Berk. & Curt.

Telióssoros hipófilos, quase negros, muitas vezes cinéreos na parte central, compactos, agrupados, 1,0 - 6,0 mm de diâmetro, formando manchas amareladas na face superior de 2,0 - 5,0 mm de diâmetro; teliósporos (Figura 42b) amarelo-escuros a castanhos, globosos ou elipsóides, bicelulares, com mesósporos (Figura 42a) numerosíssimos, 20-27 x 17-22 µm, parede lisa, espessa, pedicelos hialinos, persistentes, longos e robustos.

Sobre Herissantia tiubae (K.Sch.), Baturité, espéc. nº 804 CCAM; Pseudabutilon spicatum R.E. Fr. (Paco-paco verdadeiro), Maranguape, espéc. nº 249 CCAM; Quixadá, espéc. nº 352 CCAM; Uruburetama, espéc. nº 882CCAM; Sida sp., Mulungu, espéc. nº 899 CCAM; Parambu, espéc. nº 898 CCAM; Quixadá, espéc. nº 350 CCAM; Sida spinosa L. (Malva Relógio), Maranguape, espéc. nº 271 CCAM; Morada Nova, espéc. nº 184 CCAM; Pentecoste, espéc. nº 384 CCAM; Quixabinha, espéc. nº 382 CCAM; Wissadula sp., Pentecoste, espéc. nº 284 CCAM; Russas, espéc. nº 385 CCAM (BATISTA & BEZERRA, 1960; GALLEGOS & CUMMINS, 1981a; SYDOW & SYDOW, 1904; VIÉGAS, 1945a).

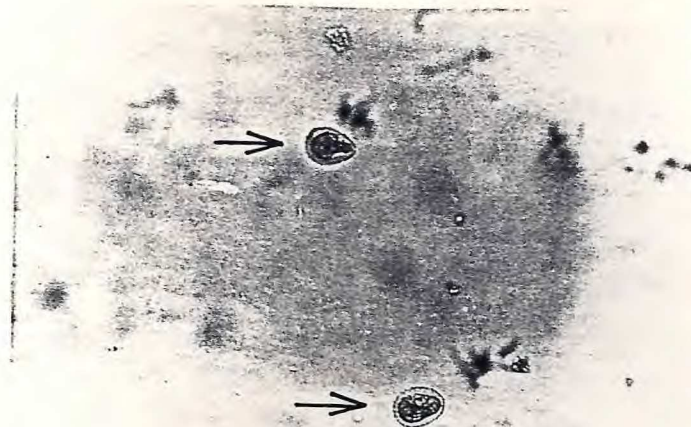


FIGURA 43 - Uredósporos de Puccinia psidii (400X).

MYRTACEAE

11.28. Puccinia psidii Wint.

(Puccinia jambolana Rangel; Puccinia jambosae P.Henn)

Uredossoros hipófilos ou sobre os frutos, isolados ou confluentes; uredósporos (Figura 43) amarelo-claros, quase hialinos, globosos, obovóides ou elipsóides, 24-28 x 17-22 μm , parede equinulada, 1,5 - 2,5 μm de espessura, hialina, com o protoplasma do esporo amarelado, poros germinativos in distintos.

Sobre Psidium guajava L. (Goiabeira), Fortaleza, espéc. nº 220 CCAM; Pacoti, espéc. nº 5 CCAM; Ubajara, espéc. nº 224 CCAM (BATISTA & BEZERRA, 1960; GALLEGOS & CUMMINS, 1981a; SYDOW & SYDOW, 1904; VIÉGAS, 1945a).

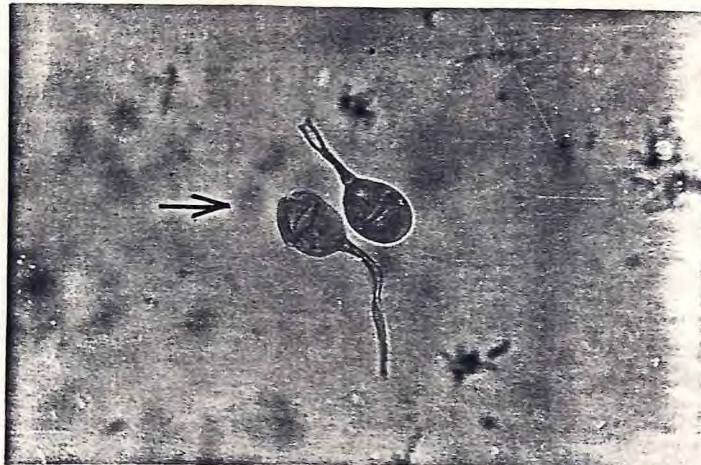


FIGURA 44 - Teliósporos de Puccinia lateritia
(400X).

RUBIACEAE

11.29. Puccinia lateritia Berk. & Curt.
(Puccinia spermococes Berk. & Curt.)

Teliósporos hipófilos, isolados, 200 - 1000 μm , sobre manchas amarelas, circulares, medindo de 1,0 - 6,0 mm de diâmetro; teliósporos (Figura 44) bicelulares, não constrictos no septo, amarelo-claros a amarelo-escuros, elipsóides ou obovóides, 20-28 x 20-23 μm , parede lisa, 4 μm de espessura; pedicelo hialino, persistente, longo, até 80 μm de comprimento; raros mesósporos encontrados entre os esporos bicelulares.

Sobre Diodia sp., Cascavel, espéc. nº 222 CCAM; Ipu, espéc. nº 896 CCAM; Pacajus, espéc. nº 331 CCAM; Quixabinha, espéc. nº 213 CCAM; Tianguá, espéc. nº 902 CCAM (GALLEGOS & CUMMINS, 1981a; SACCARDO, 1888; SYDOW & SYDOW, 1904; VIÉGAS, 1945a).

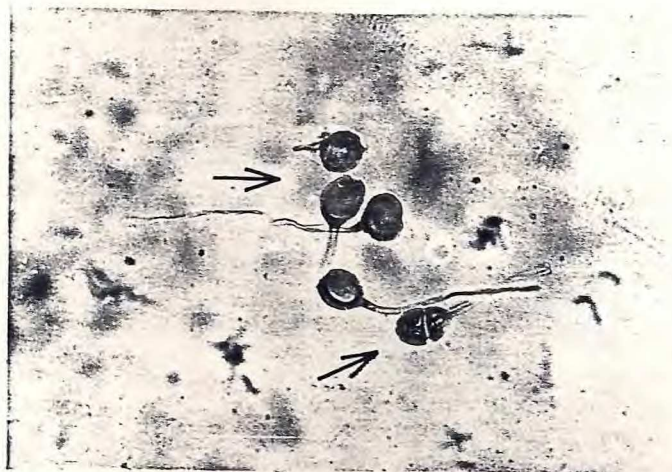


FIGURA 45 - Teliosporos de Puccinia arechavaletae (400X).

SAPINDACEAE

11.30. Puccinia arechavaletae Speg.
(Uromyces pervius Speg.)

Teliossoros hipófilos, 50 - 200 µm de diâmetro, formando manchas circulares, esbranquiçadas, de 3,0 - 4,0 mm de diâmetro; teliosporos (Figura 45) bicelulares, elipsóides, com mesósporos globosos numerosíssimos, 27-31 x 20-27 µm, parede lisa, 3 µm de espessura; pedicelo hialino, amarelado na porção ligada ao esporo, longo, até 4 vezes o comprimento do esporo.

Sobre Serjania sp., Acopiara, espéc. nº 279 CCAM; Fortaleza, espéc. nº 241 CCAM;

Paullinia pinnata L., Quixabinha, espéc. nº 383 CCAM (BATISTA & BEZERRA, 1960; BATISTA et alii, 1966; SYDOW & SYDOW, 1904; VIÉGAS, 1945a).



FIGURA 46 - Uredósporos de Puccinia hydrocotyles
(400X).

UMBELLIFERAEE

11.31. Puccinia hydrocotyles Cke.

(Uredo hydrocotyles Bert. ex Mont.)

Uredósporos anfígenos, castanhos, isolados ou agrupados, medindo de 0,5 - 2,0 μm de diâmetro; uredósporos (Figura 46) amarelo-escuros, globosos, obovóides ou elipsóides, 27-31 x 24-27 μm , parede diminutamente equinulada, 1,5 - 2,0 μm de espessura, com 2 poros germinativos equatoriais.

Sobre Hydrocotyle sp., Pacoti, espéc. nº 901 CCAM (GALLEGOS & CUMMINS, 1981a; SYDOW & SYDOW, 1904; VIÉGAS, 1945a).

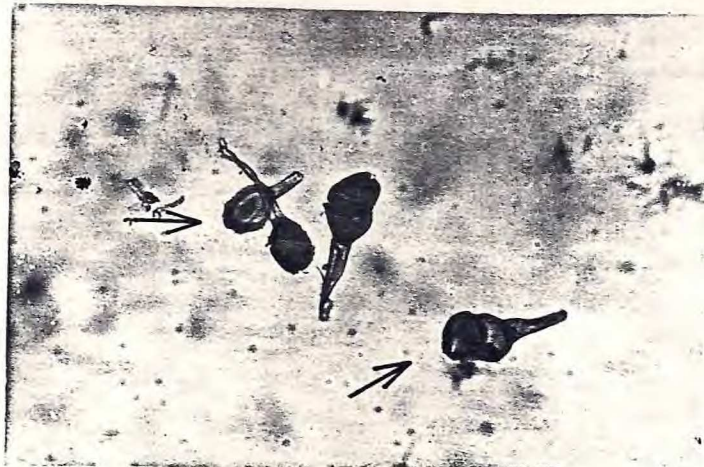


FIGURA 47 - Teliósporos de *Puccinia lantanae*
(400X).

VERBENACEAE

11.32. *Puccinia lantanae* Farl.
(*Uromyces lantanae* Speg.)

Teliosporos hipófilos, castanhos, isolados, 1,0 - 2,0 mm de diâmetro, formando manchas epífilas, medindo 2,0 - 3,0 mm de diâmetro; teliósporos (Figura 47) amarelo-escuros, bicelulares, elipsóides, constritos no septo, 24-36 x 17- 23 μm , parede lisa, 1,5 - 2,0 μm , espessando-se no ápice até 4 μm ; pedicelos amarelos ou amarelo-escuros, dilatados junto ao ponto de inserção, raramente com septo próximo à base, persistentes, até 35 μm de comprimento; numerosos mesósporos entre os esporos bicelulares.

Sobre *Lantana camara* L., Ibiapina, espéc. nº 707 CCAM (GALLE GOS & CUMMINS, 1981a; SYDOW & SYDOW, 1904; VIÉGAS, 1954a).

12. Pucciniosira Lagh., Ber. Deutsch. Bot. Ges. 9:344. 1892.

Espermogônios subepidérmicos, globóides. Écios e uredossoros ausentes. Teliossoros subepidérmicos, irrompentes, com perídio, ecidióides. Teliósporos bicelulares com um septo horizontal, as células freqüentemente separando-se com facilidade, catenulados, com células intercalares, poros germinativos não evidentes, parede pálida; basídio externo.

Espécie Tipo: Pucciniosira triumphetiae Lagh.



FIGURA 48 - Teliossoro apresentando teliosporos catenulados de Pucciniosira pallidula (400X).

TILIACEAE

12.1. Pucciniosira pallidula (Speg.) Lagh. (Pucciniosira triumphatae Lagh.)

Teliossoros (Figura 48) hipófilos, castanhos, agrupados, medindo 0,5 - 2,0 mm de diâmetro, formando manchas epífilas, circulares, de cor amarelada com o centro escuro; teliosporos sésseis, hialinos, bicelulares, catenulados, ligados entre si por pequenas células globosas, aproximadamente elipsóides, 20-24 x 13-17 μm , parede lisa.

Sobre Triumpheta sp., Ibiapina, espéc. nº 893 CCAM (GALLEGOS & CUMMINS, 1981b; VIÉGAS, 1945a).

13. Ravenelia Berk., Gard. Chron. 1853:132.1853.

Espermogônios tipicamente subcuticulares, mas, ocasionalmente, subepidérmicos. Eciós principalmente subepidérmicos, algumas vezes subcuticulares, irrompentes, normalmente uredinóides, com eciósporos pedicelados ou, em alguns casos, ecidióides, com perídio e eciósporos catenulados. Uredos soros tipicamente subepidérmicos, menos freqüentemente subcuticulares, irrompentes, comumente com paráfises; uredósporos pedicelados, equinulados ou verrucosos. Teliossoros subepidérmicos, irrompentes; teliósporos unicelulares, ou, menos freqüentemente, bicelulares com um septo horizontal, ligados lateralmente, formando capítulos discoides, pedicelados, de esporos, dotados de um número variável de cistos higroscópicos, pedicelos compostos de várias hifas ligadas lateralmente para formar um fascículo, com um poro germinativo em cada célula ou esporo, parede pigmentada; basídio externo.

Espécie Tipo: Ravenelia glandulosa Berk. & Curt.

LEGUMINOSAE

Chave para Espécies de Ravenelia do Ceará

1. Uredósporos estriados pileolarioides
1. Uredósporos não estriados, equinulados 2
2. Capítulos de teliósporos lisos cebil
2. Capítulos de teliósporos não lisos 3
3. Uredossoros com paráfises capitadas indigoferae
3. Uredossoros sem paráfises 4
4. Uredósporos com 4 poros
germinativos equatoriais cohniana
4. Uredósporos com 4-6, geralmente 5,
poros germinativos equatoriais pithecolobii

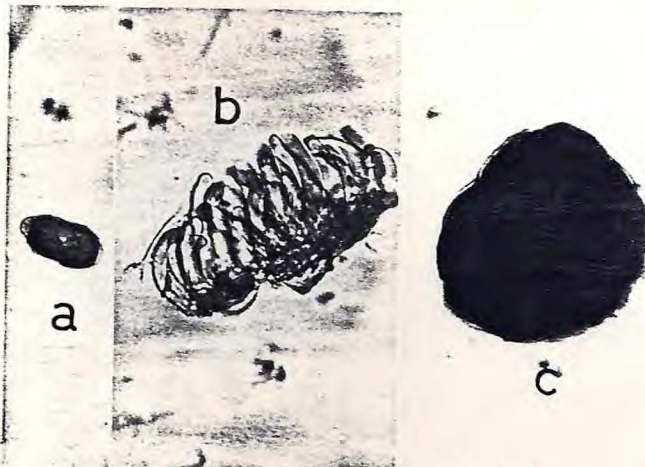


FIGURA 49 - a. uredósporo; b. paráfises; c. capí^{tulo} de teliósporos de Ravenelia pileolariooides (400X).

13.1. Ravenelia pileolariooides H. & P. Syd.
(Ravenelia parahybana Viégas)

Uredossoros anfígenos, castanho-escuros, medindo de 50 - 500 µm de diâmetro; uredósporos (Figura 49a) amarelo-escuros, ovóides ou aproximadamente elipsóides, 22-34 x 14 - 21 µm, parede estriada, com as estrias em espiral, 2,0 µm, mas espessando-se no ápice, com 3 poros germinativos equatoriais; paráfises (Figura 49b) cilíndricas, numerosas, encurvadas, amarelo-escuras, agrupadas; teliósporos (Figura 49c) unicelulares, produzidos entre uredósporos, formando capítulos discoides, pedicelados, castanho-avermelhados, 70 - 102 µm de diâmetro, apresentando papilas hialinas na face exterior, e cistos hialinos em redor do pedicelo.

Sobre Caesalpínia pyramidalis Tul. (Catingueira), Itapipoca, espéc. nº 448 CCAM; Quixadá, espéc. nº 355 CCAM; Tauá, espéc. nº 362 CCAM (VIÉGAS, 1945a).

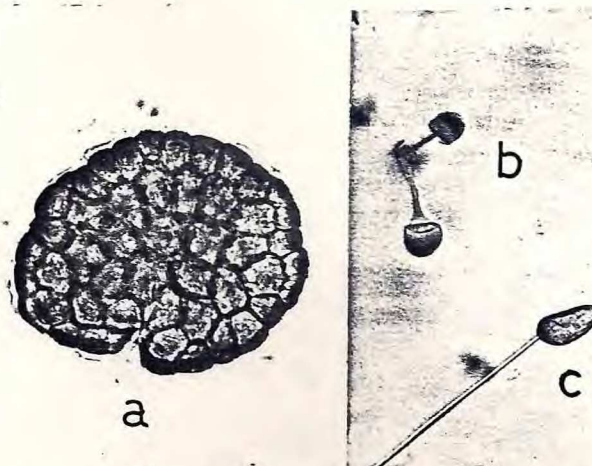


FIGURA 50 - a. capítulo de teliósporos; b. paráfi
ses; c. uredósporo de Ravenelia cebil
(400X).

13.2. Ravenelia cebil Speg.

Uredossoros anfígenos, na maioria hipófilos, castanhos; uredósporos (Figura 50c) obovóides ou elipsóides, 20-28 x 12-16 μm , parede equinulada, delgada, mais dilatada no ápice, dotados de 5-6 poros germinativos bizonados; paráfi
ses (Figura 50b) capitadas, amarelo-escuras. Teliósporos (Fi
gura 50a) unicelulares, formando capítulos discóides, pedice
lados, castanho-claros, 115 - 90 μm de diâmetro, lisos na fa
ce exterior.

Sobre Anadenanthera macrocarpa (Benth.) Brenan (Angico), For
taleza, espéc. nº 364 CCAM;

Anadenanthera sp., Maranguape, espéc. nº 691 CCAM (SYDOW &
SYDOW, 1915).

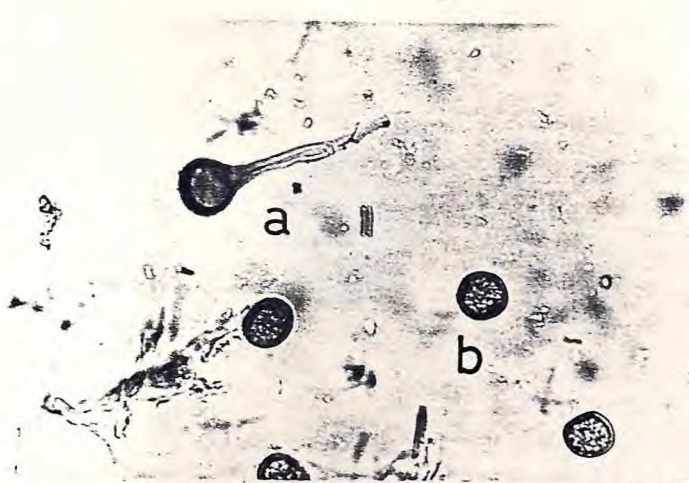


FIGURA 51 - a. paráfise; b. uredósporos de Ravenelia indigoferae (400X).

13.3. Ravenelia indigoferae Tranz. ex Diet.
(Uredo anilis P. Henn.)

Uredósporos anfígenos, castanhos, 100 - 500 μm de diâmetro; uredósporos (Figura 51b) castanho-claros, globosos, obovóides ou aproximadamente elipsóides, 23-28 x 20-26 μm , pa rede diminutamente equinulada, 2 - 2,5 mm de espessura, com 4-8 poros germinativos espalhados; paráfises (Figura 51a) numerosas, castanho-claras, capitadas, apresentando a parede mais dilatada no ápice.

Sobre Indigofera suffruticosa Mill. (Anil), Fortaleza, espéc. nº 250 CCAM; Tauá, espéc. nº 295 (CUMMINS, 1978; VIÉGAS, 1945a).



FIGURA 52 - a. uredósporos; b. capítulo de telíosporos de Ravenelia cohniana (400X).

13.4. Ravenelia cohniana P. Henn.

Uredossoros hipófilos, castanhos, diminutos, 50 - 300 μm de diâmetro; uredósporos (Figura 52a) amarelo-claros, obovóides ou elipsóides, 20-26 x 13-17 μm , parede equinulada, delgada, 1,5 μm , espessando-se no ápice do esporo, com 4 poros germinativos equatoriais; capítulos discoides, pedicelados, de telíosporos (Figura 52b), formados entre os uredósporos, castanhos, 54-72 μm de diâmetro, dotados de papilas hialinas na face externa.

Sobre Caesalpinia pulcherrima Sw. (Barba de barata), Maranguape, espéc. nº 688 CCAM (SYDOW & SYDOW, 1915).

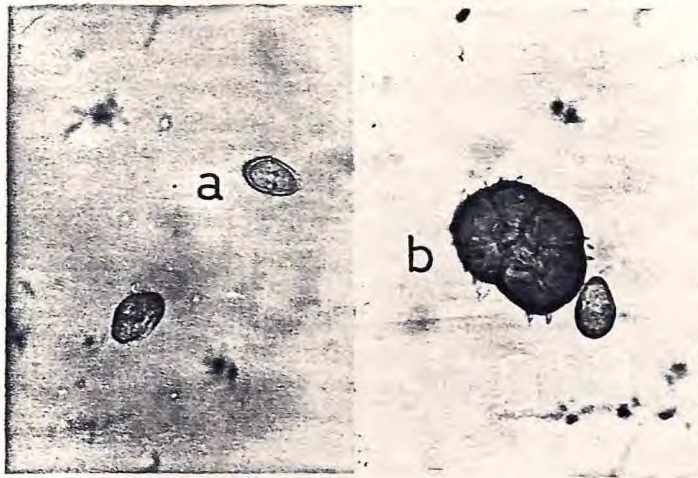


FIGURA 53 - a. uredósporos.; b. capítulo de telio
ósporos de Ravenelia pithecolobii
(400X).

13.5. Ravenelia pithecolobii Arth.

Uredossoros epífilos, irrompentes, castanhos, circulares, 100 - 500 µm; uredósporos (Figura 53a) amarelo-escuros, obovóides, elipsóides ou aproximadamente fusiformes, 23-30 x 13-20 µm, parede equinulada, 2,0 - 3,0 µm de espessura, dotados de 4-6, geralmente 5, poros germinativos equatoriais; teliossoros idênticos aos uredossoros, quase negros; capítulos discoídes, pedicelados, de telioósporos (Figura 53b), formados entre os uredósporos, castanhos, 40-55 µm de diâmetro, dotados de papilas hialinas, de 3,5 µm de altura, na face externa.

Sobre Pithecellobium multiflorum Benth., Fortaleza, espéc. nº 694 CCAM (CUMMINS, 1978; SYDOW & SYDOW, 1915; VIÉGAS, 1945a).

14. Sphaerophragmum Magn., Ber Deutesch. Bot. Ges. 9:121. 1891.

Espermogônios e ócios desconhecidos. Uredossoros subepidérmicos, irrompentes; uredósporos pedicelados, equinulados; teliossoros subepidérmicos, irrompentes; teliosporos multicelulares com septos horizontais e verticais, aproximadamente globoides, pedicelados, poro germinativo não evidente, parede pigmentada; basídio externo.

Espécie Tipo: Sphaerophragmum acaciae (Cke.) Magn.

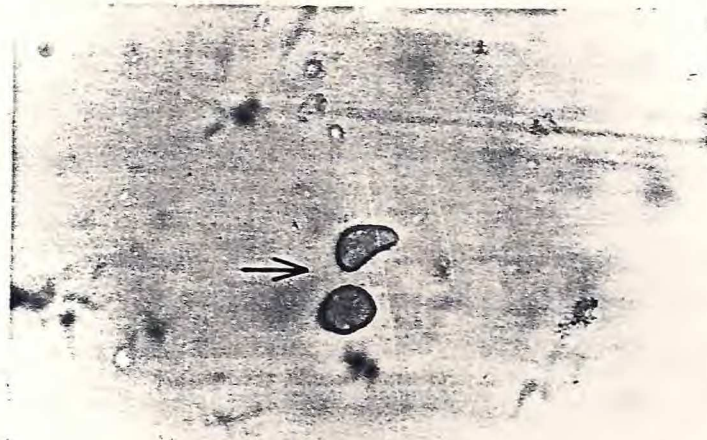


FIGURA 54 - Uredósporos de Sphaerophragmium acaciae (400X).

LEGUMINOSAE

14.1. Sphaerophragmium acaciae (Cke.) Magn.

Uredósporos hipófilos, amarelo-escuros, irrompentes, isolados ou agrupados, medindo 100 - 300 µm de diâmetro; uredósporos (Figura 54) amarelo-claros, obovóides, elipsóides ou reniformes, 20-24 x 18-22 µm, parede diminutamente equinulada, delgada, com 4-5 poros germinativos espalhados; paráfises hialinas, curtas.

Sobre Albizia lebbeck Benth. (Ébano oriental), Fortaleza, espécie nº 678 (CUMMINS, 1978).

15. Uredo Pers., Syn. Meth. Fung. p. 214. 1801.

Gênero de Uredinales imperfeitas em que apenas o estado uredospórico é conhecido no ciclo de vida. Uredosso~~r~~ros normalmente subepidérmicos, irrompentes, algumas vezes superestomatais, dotados ou não de perídio e paráfises; uredósporos unicelulares, comumente equinulados, menos freqüentemente verrucosos e, raramente, reticulados, estriados ou lisos. Algumas espécies formam os uredosso~~r~~ros ecidioides que são semelhantes aos écios do gênero Aecidium.

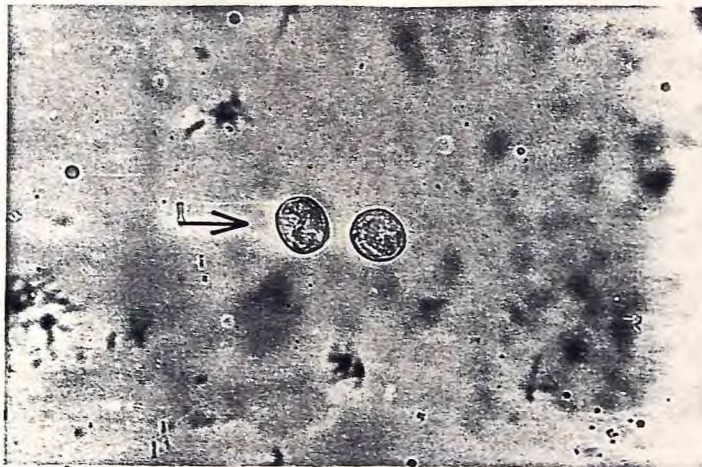


FIGURA 55 - Uredósporos de *Uredo cypericola* (400X).

CYPERACEAE

15.1. *Uredo cypericola* P. Henn.

Uredossoros anfígenos, castanho-claros, isolados, irrompentes, alongados, medindo até 1,0 mm de comprimento; uredósporos (Figura 55) amarelo-claros, ovóides, obovóides ou globosos, 20-24 x 18-23 μm , parede equinulada, delgada, dotados de 2 poros germinativos equatoriais.

Sobre *Cyperus* sp. (Tiririca), Pentecoste, espéc. nº 303 CCAM (BATISTA et alii, 1966, SYDOW & SYDOW, 1924).

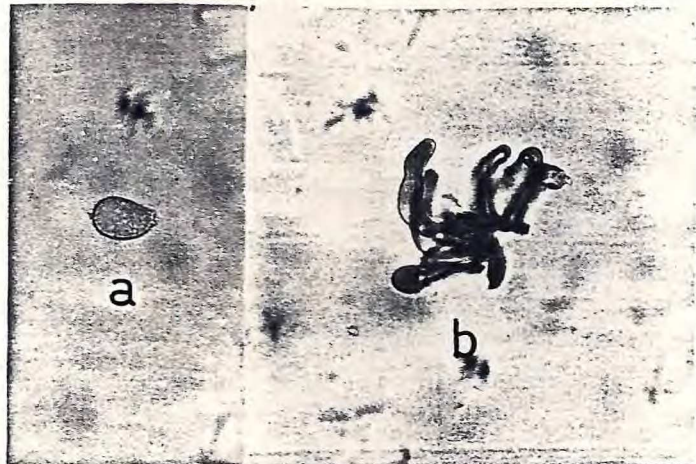


FIGURA 56 - a. uredósporo; b. paráfises de Uredo ignava (400X).

GRAMINEAE

15.2. Uredo ignava Arth.

Uredossoros anfígenos, diminutos, medindo 50-100 μm , amarelados, formando manchas alongadas, escuras, medindo 0,5 - 0,8 mm de comprimento; uredósporos (Figura 56a) amarelo-esuros, obovóides, elipsóides ou aproximadamente globosos, 22-27 x 15-21 μm , parede equinulada, 1,5 μm , dotados de 4 poros germinativos equatoriais, não muito nítidos; paráfises (Figura 56b) numerosas, amarelo-claras, cilíndricas, encurvadas.

Sobre Bambusa sp., Pacoti, espéc. nº 911 CCAM; Guadua tagoara Kunth (Taboca, Bambu), Fortaleza, espéc. nº 712 CCAM (CUMMINS, 1971; GALLEGOS & CUMMINS, 1981b; SYDOW & SYDOW, 1924).

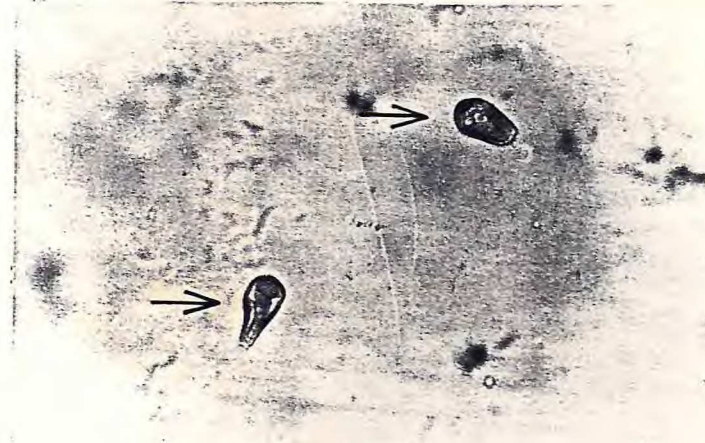


FIGURA 57 - Uredósporos de *Uredo hymenaeae* (400X).

LEGUMINOSAE

15.3. *Uredo hymenaeae* Mayor

Uredósporos hipófilos; uredósporos (Figura 57) amarelo-claros, obovóides ou elipsóides, 23-31 x 17-24 µm, parede equinulada, 1,5 µm, mais espessa no ápice do esporo até 4 µm, com 2 ou 3 poros germinativos superequatoriais.

Sobre *Hymenaea* sp. (Jatobá), Cascavel, espéc. nº 369 CCAM; *Hymenaea stigonocarpa* Mart., Barbalha, espéc. nº 964 CCAM; Crato, espéc. nº 965 CCAM (BATISTA & BEZERRA, 1966; CUMMINS, 1978; SYDOW & SYDOW, 1924; VIÉGAS, 1945a).

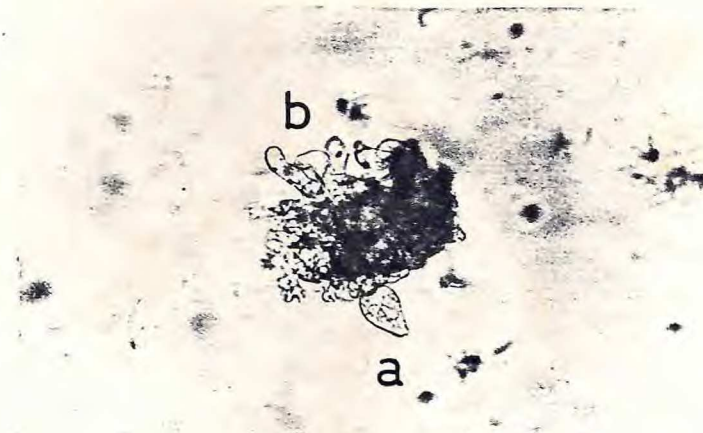


FIGURA 58 - a. uredósporo; b. paráfises de *Uredo coccobae* (400X).

POLYGONACEAE

15.4. *Uredo coccobae* P. Henn.

Uredossoros hipófilos, isolados ou agrupados, castanho-claros, 50 - 300 µm de diâmetro; uredósporos (Figura 58a) amarelo-claros, quase hialinos, obovóides ou elipsóides, 23-28 x 17-21 µm, parede equinulada, 1,0 - 1,5 µm, com poros germinativos não evidentes; paráfises (Figura 58b) cilíndricas, hialinas.

Sobre *Coccoboa* sp., Fortaleza, espéc. nº 697 CCAM (SYDOW & SYDOW, 1924).

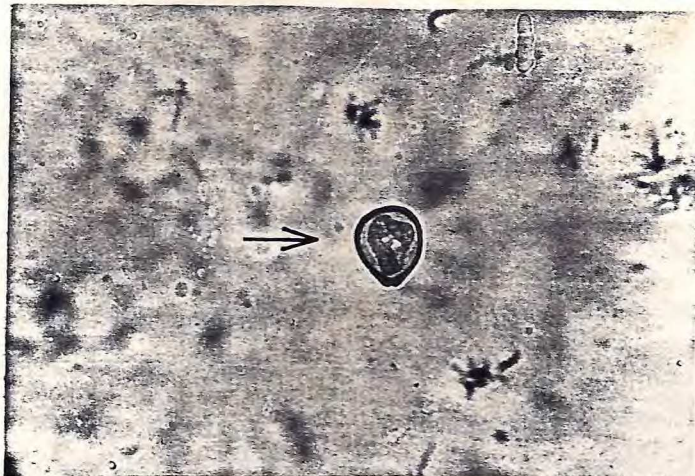


FIGURA 59 - Uredósporo de *Uredo boreriae* (400X).

RUBIACEAE

15.5. *Uredo boreriae* (P.Henn.) Kern & Whet.
(*Uromyces boreriae* P. Henn.).

Uredossoros anfígenos, irrompentes, castanho-escuros, medindo até 0,5 mm de diâmetro; uredósporos (Figura 59) amarelo-escuros, obovóides, elipsóides ou angulosos, 23-28 x 20-24 μm , parede equinulada, 1,0 - 1,5 μm de espessura, com dois poros germinativos equatoriais.

Sobre *Borreria* sp., Baturité, espéc. nº 895 CCAM; Fortaleza, espéc. nº 709 CCAM (VIÉGAS, 1945a).

16. Uromyces Ung., Exantheme Pflanzen p. 277. 1833.

Espermogônios subepidérmicos, globóides. Eciós subepidérmicos, irrompentes, ecidióides, com perídio e eciósporos catenulados ou uredinóides, com eciósporos pedicelados. Uredóssoros subepidérmicos, irrompentes; uredósporos pedicelados, equinulados, algumas vezes, verrucosos. Teliossoros subepidérmicos, irrompentes ou permanecendo coberto pela epiderme em algumas espécies; teliosporos pedicelados, unicelulares, com um poro germinativo, parede comumente pigmentada; basídio externo.

Espécie Tipo: Uromyces appendiculatus (Pers.) Ung.



FIGURA 60 - Uredósporos de *Uromyces asclepiadis* (400X).

ASCLEPIADACEAE

16.1. *Uromyces asclepiadis* Cke.

(*Uromyces howei* Pk.; *Uredo asclepiadis* Schw.)

Uredóssoros anfígenos, na maioria hipófilos, castanhos-claros, 100 - 500 µm de diâmetro, formando manchas negras de 1,0 - 3,0 mm de diâmetro; uredósporos (Figura 60) amarelo-escuros, elipsóides ou globosos, 23-28 x 17-27 µm, parede esparsamente equinulada, 3,0 µm de espessura, com 4 pores germinativos superequatoriais.

Sobre *Asclepias curassavica* L. (Dona Joana), Fortaleza, espéc. nº 203 CCAM (SACCARDO, 1888; SYDOW & SYDOW, 1910; VIÉGAS, 1945a).

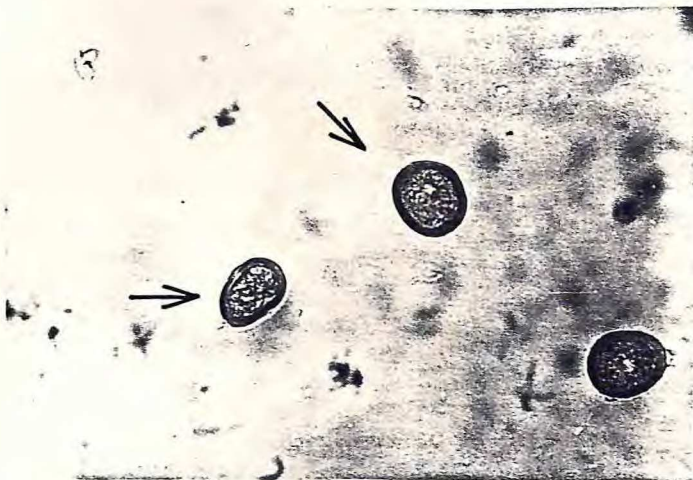


FIGURA 61 - Uredósporos de *Uromyces commeliniae*
(400X).

COMMELINACEAE

16.2. *Uromyces commeliniae* Cke.
(*Uredo commeliniae* Speg.)

Uredossoros anfígenos, castanhos, irrompentes, isolados, pulverulentos, circulares, 300 - 800 μm de diâmetro; uredósporos (Figura 61) amarelo-escuros, elipsóides, obovóides ou globosos, 27-34 x 23-31 μm , parede esparsamente equinulada, 3,0 - 3,5 μm de espessura, com 2 poros germinativos equatoriais.

Sobre *Commelina nudiflora* L. (Marianinha), Quixadá, espéc. nº 170 CCAM; Tauá, espéc. nº 289 CCAM (SACCARDO, 1888; SYDOW & SYDOW, 1910; VIÉGAS, 1945a).

COMPOSITAE

Chave para Espécies de Uromyces do Ceará

1. Uredósporos fortemente equinulados,
com 2 poros superequatoriais ou
equatoriais bidenticola
1. Uredósporos não como acima 2
2. Uredósporos com 2 poros germinativos
subequatoriais cucullatus
2. Uredósporos com 4-5 poros germinativos
esparsos blainvilleae



FIGURA 62 - Uredósporos de *Uromyces bidenticola*
(400X).

16.3. *Uromyces bidenticola* Arth.

(*Uredo bidenticola* P. Henn.; *Uredo bidentis* P. Henn.)

Uredossoros anfígenos, na maioria hipófilos, castanhos-claros, irrompentes, isolados, 300 - 500 µm de diâmetro; uredósporos (Figura 62) amarelo-dourados, obovóides, elipsóides ou globosos, 30-37 x 23-28 µm, parede fortemente equinulada, 1,5 µm de espessura, com 2 poros germinativos superequatoriais ou equatoriais.

Sobre *Bidens pilosa* L., São Benedito, espéc. nº 711 CCAM; *Bidens* sp., Ipu, espéc. nº 892 CCAM (CUMMINS, 1978; VIÉGAS, 1945a).

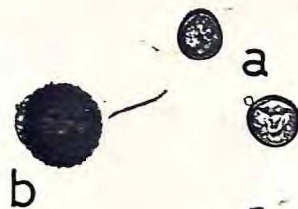


FIGURA 63 - a. uredósporos; b. teliósporo de Uromyces cucullatus (400X).

16.4. Uromyces cucullatus H. Syd. & P. Syd.
(Uromyces pyauhiensis P. Henn.)

Uredossoros hipófilos, castanhos, irrompentes, 100-500 µm de diâmetro; uredósporos (Figura 63a) amarelo-escuros, obovóides ou elipsóides, 23-28 x 20-25 µm, parede equinulada, delgada, com 2 poros germinativos subequatoriais. Teliossoros idênticos aos uredossoros, mas de coloração negra; teliósporos (Figura 63b) unicelulares, castanhos, aproximadamente globosos, com uma papila ou protuberância mais clara, quase hialina, no ápice, 37-41 x 34-38 µm, parede verrucosa, 3-4 µm, espessando-se no ápice até 7-8 µm; pedicelo hialino, curto até o mesmo comprimento do esporo.

Sobre Wedelia scaberrima Benth. (Camará de Flexa), Fortaleza, espéc. nº 252 CCAM e espéc. nº 270 CCAM; Russas, espéc. nº 192 CCAM (CUMMINS, 1978; SYDOW & SYDOW, 1910).

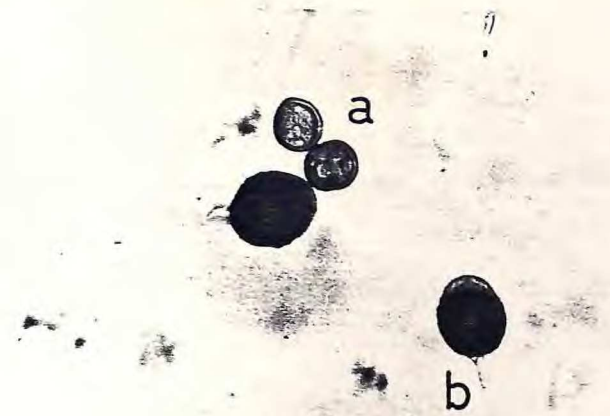


FIGURA 64 - a. uredósporos; b. telioísporos de Uromyces blainvilleae (400X).

16.5. Uromyces blainvilleae Berk.

Uredossoros hipófilos, castanhos, isolados ou agrupados, medindo até 1,0 mm de diâmetro; uredósporos (Figura 64a) amarelo-escuros, globosos, elipsóides ou de forma irregular, 20-25 x 18-24 μm , parede diminutamente equinulada, delgada, com 4-5 poros germinativos espalhados; telioссoros idênticos aos uredossoros, mas de coloração negra; telioísporos (Figura 64b) unicelulares, aproximadamente elipsóides, castanho-avermelhados, com uma papila ou protuberância mais clara, quase hialina, no ápice, 30-34 x 23-30 μm , parede verrucosa, 3-5 μm , espessando-se no ápice até 10 μm ; pedicelo curto, hialino.

Sobre Blainvillea rhomboidea Cass., Caucaia, espéc. nº 847 CCAM; Fortaleza, espéc. nº 889 CCAM; Itapipoca, espéc. nº 903 CCAM; Quixeramobim, espéc. nº 888 CCAM; Redenção, espéc. nº 836 CCAM;

Blainvillea sp., Pacoti, espéc. nº 887 CCAM (VIÉGAS, 1945a).

EUPHORBIACEAE

Chave para Espécies de Uromyces do Ceará

1. Teliósporos castanho-escuros, com uma papila hialina no ápice, fortemente verrucosos euphorbiae
1. Teliósporos castanhos, verrucosos,
aparentemente lisos manihoticola

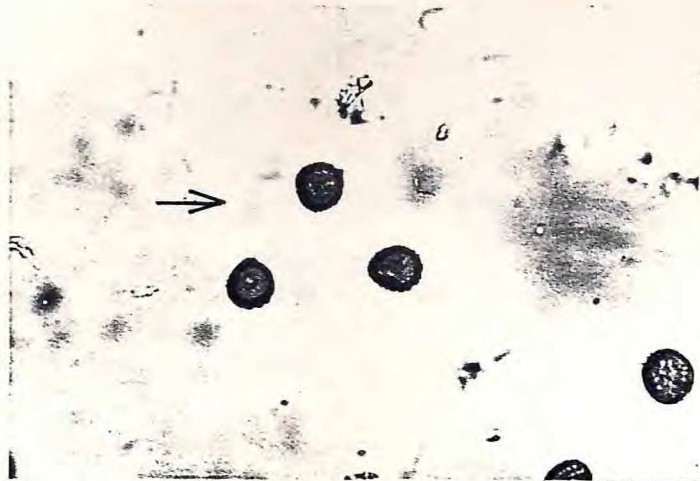


FIGURA 65 - Uredósporos de *Uromyces euphorbiae* (400X).

16.6. *Uromyces euphorbiae* Cke. & Pk.

(*Uredo proeminens* DC.; *Uromyces proeminens* (DC.) Pass.)

Uredósporos hipófilos, castanho-claros, isolados, irrompentes, 100 - 500 μm de diâmetro; uredósporos (Figura 65) amarelo-claros, globosos ou aproximadamente elipsóides, 20-25 x 18-23 μm , parede equinulada, 2,0 μm de espessura, com 4-6 poros germinativos espalhados; teliosspórios idênticos aos uredósporos, mas de cor mais escura; teliosspórios unicelulares, castanho-escuros, obovóides, elipsóides ou globosos, 23-31 x 17-25 μm , parede fortemente verrucosa, 2,0 μm , sendo pouco mais espessa no ápice, dotados de uma papila hialina; pedicelo curto, hialino.

Sobre *Euphorbia brasiliensis* Lam. (Erva de leite), Aquiraz, espéc. nº 208 CCAM; Fortaleza, espéc. nº 253 CCAM; Paraipaba, espéc. nº 197 CCAM;

Euphorbia sp., espéc. nº 891 CCAM (BATISTA et alii, 1966; SACARDO, 1888; SYDOW & SYDOW, 1910).



FIGURA 66 - a. teliosporo; b. uredósporo de *Uromyces manihoticola* (400X).

16.7. *Uromyces manihoticola* P. Henn.

Uredossoros anfígenos, na maioria hipófilos, castanho-claros, 100 - 300 μm de diâmetro; uredósporos (Figura 66b) amarelo-dourados, obovóides ou elipsóides, 27-34 x 23-28 μm , parede equinulada, 2,0 - 3,0 μm de espessura, com 5-6 poros germinativos espalhados; paráfises cilíndricas, hialinas. Teliossoros idênticos aos uredossoros, mas de coloração mais escura; teliosporos (Figura 66a) castanho-claros, subglobosos ou elipsóides, 27-35 x 18-28 μm , parede verrucosa, aparentemente lisa, 2,5 - 3,5 μm , mais clara e espessa no ápice até 8,0 μm ; pedicelo hialino, curto.

Sobre *Manihot esculenta* Crantz (Mandioca), Pacajus, espéc. nº 239 CCAM; Pacoti, espéc. nº 230 CCAM; Tianguá, espéc. nº 308 CCAM (BATISTA & BEZERRA, 1960; SYDOW & SYDOW, 1910).

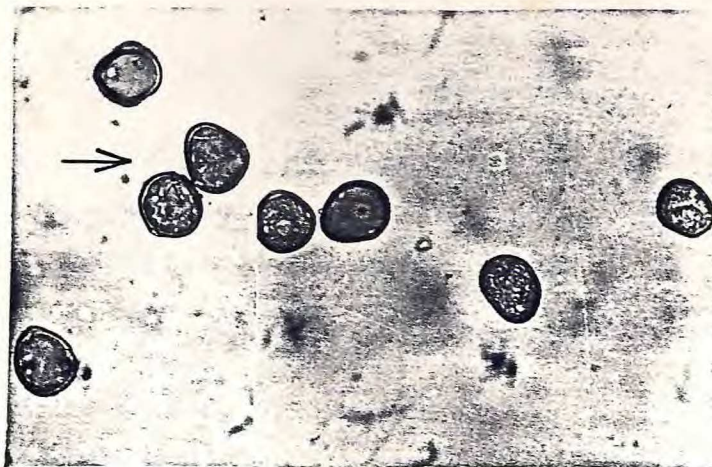


FIGURA 67 - Uredósporos de *Uromyces setariae-italicae* (400X).

GRAMINEAE

16.8. *Uromyces setariae-italicae* Yosh.
(*Uredo melinidis* Kern)

Uredósporos anfígenos, castanhos, alongados, isolados, 0,5 - 1,0 mm de comprimento ou diminutos, 50 - 100 μm , conforme o hospedeiro; uredósporos (Figura 67) variando de amarelo-dourados a amarelo-escuros, obovóides ou elipsóides, 23-30 x 17-27 μm , parede equinulada, 1,5 μm de espessura, com 3-4 poros equatoriais ou superequatoriais.

Sobre Melinis sp., Aratuba, espéc. nº 913 CCAM;
Panicum maximum Jacq. (Capim colonião), Pentecoste, espéc. nº 298 CCAM;
Setaria viridis Beauv. (Panicum purpurascens Opiz), Ipu, espécie nº 922 CCAM (CUMMINS, 1971; GALLEGOS & CUMMINS, 1981b).

LEGUMINOSAE

Chave para Espécies de Uromyces do Ceará

1. Teliósporos de parede reticulada 2
1. Teliósporos de parede não reticulada 3
2. Teliósporos de parede bilaminada bauhiniae
2. Teliósporos de parede simples castaneus
3. Teliósporos de parede lisa neurocarpi
3. Teliósporos de parede verrucosa 4
4. Teliósporos de parede verrucosa,
aparentemente lisa bradburyae
4. Teliósporos de parede verrucosa e lisa 5
5. Uredósporos com 2 poros germinativos
equatoriais ou superequatoriais dotados
de protuberâncias hialinas; teliósporos
verrucosos, na maioria, raramente lisos.....
..... appendiculatus var. appendiculatus
5. Uredósporos com 2 poros germinativos
superequatoriais ou equatoriais, não
dotados de protuberâncias hialinas;
teliósporos lisos, na maioria, rara-
mente verrucosos appendiculatus var. brasiliensis

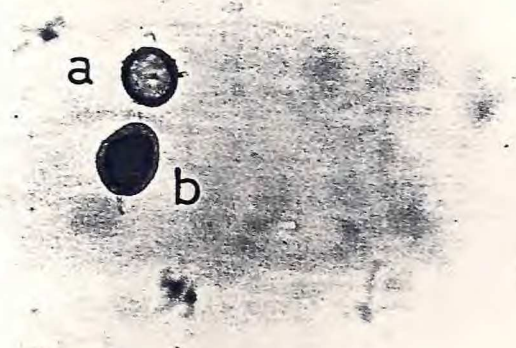


FIGURA 68 - a. uredósporo; b. telioísporo de Uromyces bauhiniae (400X).

16.9. Uromyces bauhiniae P. Henn.

(Uromyces guatemalensis Vest.; Uromyces praetextus Vest.)

Uredossoros hipófilos, castanhos; uredósporos (Figura 68a) amarelo-claros, maioria globosos, 20-24 x 20-24 μm , parede equinulada, 2 μm de espessura, com 3 poros germinativos equatoriais. Teliosoros castanho-escuros, idênticos aos uredossoros; telioísporos (Figura 68b) unicelulares, castanhos, obovóides ou aproximadamente globosos, 25-28 x 20-24 μm , parede reticulada, bilaminada, 2-3 μm , espessando-se no ápice até 6,0 μm ; pedicelo hialino, curto, normalmente quebrando próximo ao hilo.

Sobre Bauhinia sp., hiperparasitado por Darluca filum (Biv.) Cast., Baturité, espéc. nº 1013 CCAM (ALMEIDA, 1975; CUMMINS, 1978; VESTERGREN, 1905).

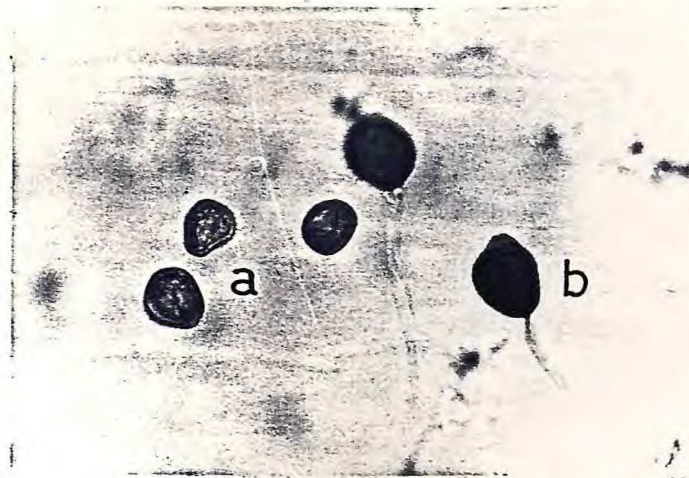


FIGURA 69 - a. uredósporos; b. telioísporos de *Uromyces castaneus* (400X).

16.10. *Uromyces castaneus* P. & H. Syd.

Uredósporos hipófilos, amarelo-escuros, até 0,5 mm de diâmetro; uredósporos (Figura 69a) variando de amarelo-dourados a amarelo-escuros, globosos ou obovóides, 17-21 x 17-20 μm , parede equinulada, 1,0 - 1,5 μm de espessura, com 3-4 poros germinativos levemente superequatoriais. Teliosporos idênticos aos uredósporos; telioísporos (Figura 69b) unicelulares, castanhos, aproximadamente globosos, 20-24 x 20-23 μm , parede diminutamente reticulada, espessando-se no ápice; pedicelo amarelo-claro, persistente, muito longo até 4 vezes o comprimento do esporo.

Sobre *Desmodium incanum* DC., Serra da Meruoca; espéc. nº 974 CCAM;

Desmodium sp., Baturité, espéc. nº 953 CCAM (ALMEIDA, 1975; SYDOW & SYDOW, 1910; VIÉGAS, 1945a).

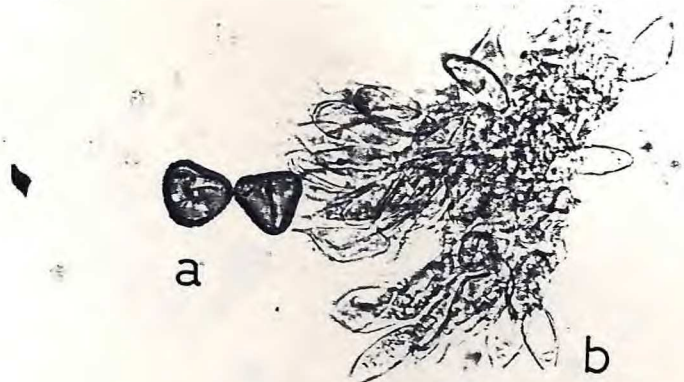


FIGURA 70 - a. uredósporos; b. telioósporos de *Uromyces neurocarpi* (400X).

16.11. *Uromyces neurocarpi* Diet.

Uredósporos hipófilos, castanhos, agrupados, compactos, 0,5 - 2,0 mm de diâmetro; uredósporos (Figura 70a) variando de amarelo-dourados a amarelo-escuros, obovóides, quase triangulares ou elipsóides, 24-28 x 23-26 µm, parede diminutamente equinulada, com 2 poros germinativos subequatoriais. Telioósporos (Figura 70b) formados entre os uredósporos, hialinos, fusiformes, oblongos ou elipsóides, 30-34 x 13-17 µm, parede lisa, delgada, dilatada no ápice; pedicelos persistentes, hialinos, curtos.

Sobre *Clitoria* sp. (Clitória), Aquiraz, espéc. nº 205 CCAM; Cascavel, espéc. nº 224 CCAM (ALMEIDA, 1975, CUMMINS, 1978; SYDOW & SYDOW, 1910; VIÉGAS, 1945a).

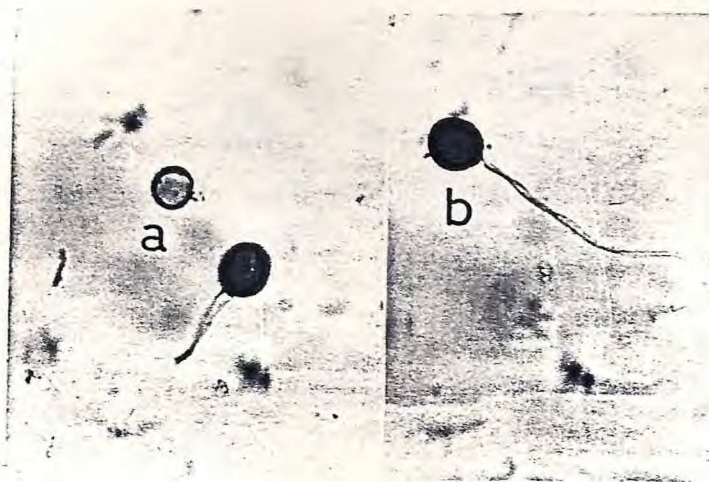


FIGURA 71 - a. uredósporo; b. teliósporos de Uromyces bradburyae (400X).

16.12. *Uromyces bradburyae* Jacks. & Holw.

Uredossoros anfígenos, na maioria hipófilos, castanhos, irrompentes, isolados, 100 - 200 μm de diâmetro; uredósporos (Figura 71a) amarelo-escuros, na maioria globosos, ou elipsóides, 20-24 x 17-24 μm , parede diminutamente equinulada, 1,5 μm de espessura, com 2 poros germinativos equatoriais. Teliossoros idênticos aos uredossoros; teliósporos (Figura 71b) unicelulares, aproximadamente globosos, castanhos, mais claros no ápice, 23-31 x 23-28 μm , parede verrucosa, aparentemente lisa, 3 μm , espessando-se no ápice até 7 μm ; pedicelo persistente, hialino, longo, medindo até 3 vezes o comprimento do esporo.

Sobre *Centrosema pubescens* Benth., Fortaleza, espéc. nº 679 CCAM (ALMEIDA, 1975; JACKSON, 1931a).

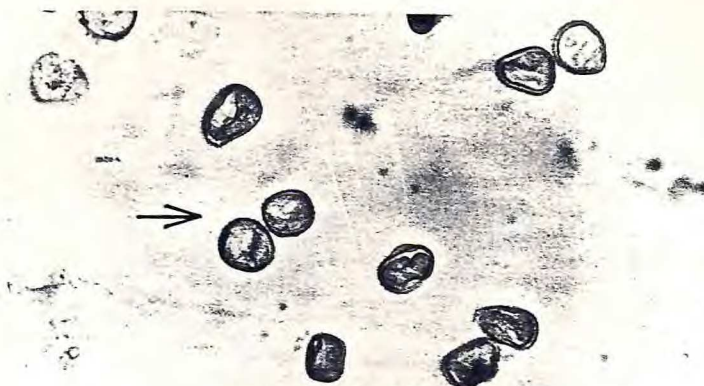


FIGURA 72 - Uredósporos de Uromyces appendiculatus var. appendiculatus (400X).

16.13. Uromyces appendiculatus (Pers.) Ung. var. appendiculatus

(Uromyces phaseoli (Pers.) Wint.; Uromyces phaseoli typica Arth.)

Uredossoros anfígenos, maioria hipófilos, castanhos, irrompentes, 0,5 - 1,0 mm de diâmetro; uredósporos (Figura 72) amarelo-claros, globosos ou obovóides, 26-29 x 23-28 μm , parede equinulada, 1,5 - 2,0 μm de espessura, com 2 poros germinativos equatoriais, dotados de protuberâncias hialinas, vistos lateralmente nas paredes dos esporos.

Sobre Phaseolus vulgaris L. (Feijão de arrancar), Fortaleza, espéc. nº 683 CCAM; Guaraciaba do Norte, espéc. nº 173 CCAM; Ibiapina, espéc. nº 681 CCAM; Pentecoste, espéc. nº 762 CCAM; São Benedito, espéc. nº 685 CCAM (ALMEIDA, 1975; CUMMINS, 1978; SYDOW & SYDOW, 1910; VIÉGAS, 1945a).



FIGURA 73 - Uredósporos de *Uromyces appendiculatus* var. *brasiliensis* (400X).

16.14. *Uromyces appendiculatus* (Pers.) Ung. var. *brasiliensis* R. Alm.

(*Uromyces phaseoli longepedunculati* Viégas)

Uredósporos anfígenos, maioria hipófilos, castanhos, irrompentes, 0,5 - 1,0 mm de diâmetro; uredósporos (Figura 73) amarelo-escuros, globosos ou obovoídeos, 24-31 x 24-27 µm, parede equinulada, 1,5 - 2,0 µm de espessura, com 2 poros germinativos superequatoriais ou equatoriais, sem protuberâncias hialinas, vistos através da parede do esporo.

Sobre *Phaseolus lathyroides* L. (Feijão de rola), Russas, espéc. nº 682 CCAM;

Phaseolus longipedunculatus Mart. (Feijão de rola), Quixadá, espéc. nº 353 CCAM;

Phaseolus martii Benth. (Feijão de rola), Lima Campos, espéc. nº 687 CCAM;

Phaseolus panduratus Mart. (Orô), Fortaleza, espéc. nº 684 CCAM (ALMEIDA, 1975; VIÉGAS, 1945b).

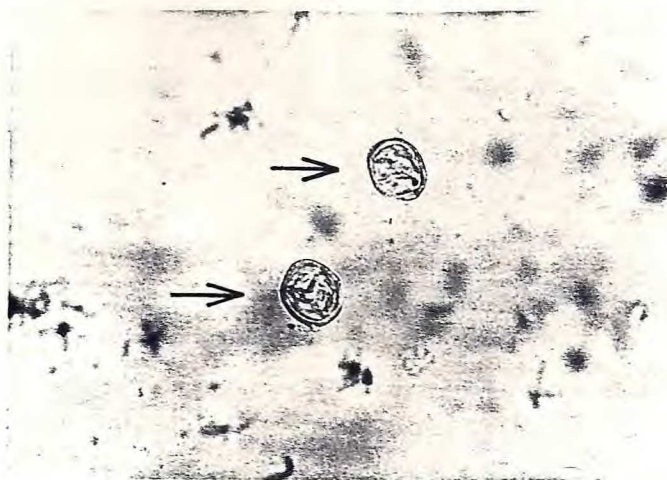


FIGURA 74 - Eciōsporos de *Uromyces cestri* (400X).

SOLANACEAE

16.15. *Uromyces cestri* Bert. ex Mont.
(*Aecidium cestri* Bert. ex Mont.)

Écios hipófilos, esbranquiçados, com perídio curto, em forma de taça, formando manchas epífilas, medindo de 1,0 - 2,0 mm de diâmetro; eciōsporos (Figura 74) amarelo-clara, angulato-globosos, 27-31 x 24-28 µm, parede verrucosa, 1,5 µm de espessura; células peridiais, amarelo-claras, quase hialinas, aproximadamente romboidais.

Sobre *Cestrum* sp., Ibiapina, espéc. nº 710 CCAM (SACCARDO, 1888).

CONCLUSÕES

Os resultados do estudo taxonômico sobre as espécies de Uredinales registradas como ocorrentes no Ceará e de novos espécimes coletados, permitem as seguintes conclusões:

1. Ocorrem no Estado do Ceará 72 espécies, incluindo-se 2 variedades de Uromyces appendiculatus (Pers.) Ung., 1 variação de Puccinia dolosa Arth. & Fromme e 1 variedade de Puccinia aristidae Tracy, distribuídas em 16 gêneros de Uredinales. Dentre elas, 17 espécies são constatadas pela primeira vez no Ceará e 7, incluindo-se 1 gênero de Uredinales, são registradas pela primeira vez no Brasil;
2. As espécies Puccinia acanthospermi P. Henn., Puccinia emiliae P. Henn. e Puccinia spilanthis P. Henn. são tratadas como uma única espécie, denominada Puccinia cnicioleracei Pers. ex Desm.;
3. Puccinia sp., sobre Saccharum officinarum L., e Puccinia substriata Ell. & Barth., sobre Digitaria horizontalis Willd., não ocorrem no Estado do Ceará e Uredo kyllingiae P. Henn. é considerada um sinônimo de Puccinia cyperi Arth., e
4. Darluca filum (Biv.) Cast. foi encontrado parasitando as espécies Physopella compressa (Mains) Cumm. & Ramachar, Puccinia cyperi Arth., Puccinia dolosa Arth. & Fromme var. circundata (Mains) Ramachar & Cumm., Puccinia purpurea Cke., Puccinia sorghi Schw. e Uromyces bauhiniae Vest., indicando um possível controle biológico destas espécies em condições naturais no Estado do Ceará.

RESUMO

O presente trabalho foi realizado principalmente a través de observações microscópicas de espécimes pertencenttes ao Herbário Micológico do Centro de Ciências Agrárias da Universidade Federal do Ceará (CCAM).

A base para a identificação das espécies envolveu estudos sobre tamanho, forma e cor dos eciósporos, uredósporos e teliósporos, espessura e ornamentação das paredes dos esporos, características dos pedicelos dos teliósporos, número e posição dos poros germinativos, principalmente dos uredósporos, e a presença ou ausência de paráfises. Os tipos de frutificação presentes no ciclo de vida, incluindo sintomas, e a precisa identificação dos hospedeiros foram caracteres adicionais que ajudaram na identificação das espécies de Uredinales.

São apresentadas chaves analíticas e descrições para os gêneros e espécies de Uredinales que ocorrem no Estado do Ceará, acompanhadas de fotomicrografias ou desenhos.

Os resultados do estudo taxonômico sobre as espécies de Uredinales já registradas como ocorrentes no Ceará e de novos espécimes coletados, permitem as seguintes conclusões:

1. Ocorrem no Estado do Ceará 72 espécies, incluindo-se 2 variedades de Uromyces appendiculatus (Pers.) Ung., 1 variedade de Puccinia dolosa Arth. & Fromm e 1 variedade de Puccinia aristidae Tracy, distribuídas em 16 gêneros de Uredinales. Dentre elas, 17 espécies são constatadas pela primeira vez no Ceará e 7, incluindo-se 1 gênero de Uredinales, são registradas pela primeira vez no Brasil;
2. As espécies Puccinia acanthospermi P. Henn., Puccinia emiliae P. Henn. e Puccinia spilanthis P. Henn. são tratadas como uma única espécie, denominada Puccinia cnicioleracei Pers. ex Desm.;
3. Puccinia sp., sobre Saccharum officinarum L., e Puccinia

substriata Ell. & Barth., sobre Digitaria horizontalis Willd., não ocorrem no Estado do Ceará e Uredo kyllingiae P. Henn. é considerada um sinônimo de Puccinia cyperi Arth., e

4. Darluca filum (Biv.) Cast., foi encontrado parasitando as espécies Physopella compressa (Mains) Cumm. & Ramachar, Puccinia cyperi Arth., Puccinia dolosa Arth. & Fromme var. circundata (Mains) Ramachar & Cumm., Puccinia polysora Underw., Puccinia purpurea Cke., Puccinia sorghi Schw. e Uromyces bauhiniae Vest., indicando um possível controle biológico destas espécies em condições naturais no Estado do Ceará.

SUMMARY

This study was accomplished primarily by microscopic observation of important fungal structures. The material representing the species of Uredinales were obtained from Mycological Herbarium of the Centro de Ciências Agrárias of the Universidade Federal do Ceará, Brazil (CCAM).

The basis for identification of species included studies of the wall thickness and ornamentation, color, size and shape of teliospores, urediniospores and aeciospores, pedicel features of teliospores and number and position of germ pores in urediniospores. Paraphyses and host specificity were additional characters that aided in species identification.

Analytical keys and complete descriptions of genera and stages of the life cycles of species present in the State of Ceará, Brazil, and photomicrographs or drawings were prepared to facilitate identification of species.

As a result of this taxonomic study, the author concluded that:

1. Seventy-two species, including two varieties of Uromyces appendiculatus (Pers.) Ung., one variety of Puccinia dolosa Arth. & Fromme and one variety of Puccinia aristidae Tracy, and sixteen genera of Uredinales occur in the State of Ceará, Brazil. Among them are seven species, including one genus, first recorded in Brazil, and seventeen species first registered as occurring in the State of Ceará.
2. Puccinia acanthospermi P. Henn., Puccinia emiliae P. Henn. and Puccinia spilanthis P. Henn. represent a single species, named Puccinia cnici-oleracei Pers. ex Desm.
3. Puccinia sp., on Saccharum officinarum L., and Puccinia substriata Ell. & Barth., on Digitaria horizontalis Willd., do not occur in the State of Ceará, and Uredo kyllingiae P. Henn. is treated as a synonym of Puccinia cyperi Arth.

4. The hyperparasite Darluca filum (Biv.) Cast. was found on Physopella compressa (Mains) Cumm. & Ramachar, Puccinia cyperi Arth., Puccinia dolosa Arth. & Fromme var. circundata (Mains) Ramachar & Cumm., Puccinia polyspora Underw.; Puccinia purpurea Cke., Puccinia sorghi Schw. and Uromyces bauhiniae P. Henn., indicating probably a biological control of these species under natural conditions.

LITERATURA CITADA

- AINSWORTH, G. C. A general purpose classification on fungi
Bibl. Syst. Mycol. 1:1-4. 1966.
- ALBUQUERQUE, F.C. Relação das espécies de Uredinales coletadas na Amazônia. Pesq. agropec. bras. 6: 147-150. 1971a.
- _____. Descrição de cinco novas espécies de Uredinales da Amazônia. Pesq. agropec. bras., Sér. Agron. 6: 139-143. 1971b.
- _____. & FIGUEIREDO, M.M. Descrição de uma nova espécie de Uredinales da Amazônia; Uromyces belemensis. Pesq. agropec. bras., Sér. Agron. 6:145-146. 1971.
- ALMEIDA, R.T. A taxonomic analysis of the species of Uromyces on legumes in Brazil. University of Arizona, Tucson. 1975. 90p. Ph.D. Dissertation.
- _____. ; LANDIM, F.A. & GUEDES, R.C.B. A ferrugem do cafeeiro (Coffea arabica L.) no Estado do Ceará. Fitossanidade, Fortaleza, 2(2): 42-43. 1977.
- _____. & FREIRE, V.F. Espécies de Uredinales sobre leguminosas e gramíneas do Estado do Ceará. Fitossanidade, Fortaleza, 5(1): 41-46. 1981.
- _____. Espécies de Uredinales do Estado do Ceará. Cien. Agron., Fortaleza, 15(1-2). 1985. (no prelo).
- ARTHUR, J.C. New species of Uredineae. Bul. Torrey Bot. Club. 45: 141-156. 1918.
- BATISTA, A.C. & BEZERRA, J.L. Alguns fungos de ferrugem. Instituto de Micologia, Recife, Publ. nº 282. 1960. 55p.
- _____. ; FALCÃO, R.G.S.; PERES, G.E.P. & MOURA, N. R. Fungi paraensis. Instituto de Micologia, Recife. Publ. nº 506. 1966. 290p.
- BRAGA, R. Plantas do Nordeste, especialmente do Ceará, 2^a Ed. Imprensa Oficial, Fortaleza. 1960. 540p.

BULLOW, J.F.W. von. As ferrugens (Puccinia sorghi, P. polysora, Physopella zae) do milho (Zea mays). II. Estudo comparativo e inimigos naturais. Pesq. agropec. bras. 1: 299-303. 1966.

CUMMINS, G.B., Illustrated genera of rust fungi. Burgess Publishing Co., Minneapolis, Minnesota, 1959. 131p.

The rust fungi of cereals, grasses and bamboos. Springer Verlag, New York. 1971. 570p.

Rust fungi on legumes and compositae in North America. University of Arizona Press, Tucson. 1978. 424p.

ERIKSSON, O. On Eudarluca caricis (Fr.) O. Eriks., comb. nov., a cosmopolitan urediniculous pyrenomycete. Botan. Notiser 119: 33-69. 1966.

GALLEGOS, H. L. & CUMMINS, G.B. Uredinales (Royas) de México. Secretaria de Agricultura e Recursos Hidráulicos, Cuacán, Sinaloa, México. 1981a. V.1. 490p.

1981b. V.2. 492p.

HENNEN, J.F.; HENNEN, M.M. & FIGUEIREDO, M.B. Índice das ferrugens (Uredinales) do Brasil. Arq. Inst. Biol., São Paulo, 49 (Supl.1): 1-201. 1982.

HOTSON, H.H. & CUTTER, V.M. Jr. The isolation and culture of Gymnosporangium juniperi-virginianae Schw. Proc. Natl. Acad. Sci. U.S. 37: 400-403. 1951.

JACKSON, H.S. The rusts of South America based on the Holway collections IV. Mycologia 23: 332-364. 1931a.

The rusts of South America based on the Holway collections V. Mycologia 23: 463-503. 1931b.

LAUNDON, G.F. Rust fungi III: on alangiaceae, amaranthaceae and amaryllidaceae. Mycol. pap. 102: 1-52. 1965.

LINDQUIST, J.C. Las royas parasitas de Ciperaceas em la Republica Argentina. Rev. Fac. Agron., LA PLATA, (3^a Ep.), 36 (2): 121-144. 1960.

LINDQUIST, J.C. & COSTA NETO, J.P. da. Uredinales de Rio Grande do Sul. Pesq. agropec. bras., Sér. Agron. 39: 111-125. 1963.

_____ Adicion a los Uredinales de Rio Grande do Sul. Rev. Fac. Agron., LA PLATA, 43 (1): 55-65. 1967.

MORAES, S.A. de. A ferrugem do cafeeiro: importânci^a, condiçõe^s predisponentes, evoluç^ao e situaç^ao no Brasil. Circ. Inst. Agron., Campinas, 119: 1-50. 1983.

SACCARDO, P.A. Sylloge fungorum. Johnston Reprint Corporation, New York. 1888. V.7. 882p.

SCOTT, K. J. & MACLEAN, D.J. Culturing of rust fungi. Ann. Rev. Phytopathol. 7: 123-146. 1969.

SYDOW, P. & SYDOW H. Monographia uredinearum. Borntraeger, Leipzig. 1904. V.1. 972p.

_____. 1910. V.2. 396p.

_____. 1915. V.3. 726p.

_____. 1924. V.4. 671p.

USDA. Index of plant diseases in the United States. U.S. Dept. of Agriculture. Agric. Handbook n^o 165, Washington. 1970. 531p.

VASCONCELOS, I. Primeira contribuiç^ao ao inventário de fungos de plantas do Ceará. Bol. Soc. Cear. Agron., Fortaleza, 6: 79-99. 1965.

_____ Segunda contribuiç^ao ao inventário de fungos de plantas do Ceará. Bol. Soc. Cear. Agron., Fortaleza, 10: 33-39. 1969.

_____ Terceira contribuiç^ao ao inventário de fungos de plantas do Ceará. Cien. Agron., Fortaleza, 1(2) : 121-128. 1971.

VESTERGREN, T. Monographie der auf der leguminosen-gattung Bauhinia vorkommenden Uromyces - arten. Ark. Bot. 4(15) : 1-34. 1905.

VIÉGAS, A.P. Alguns fungos do Brasil. IV. Uredinales. Bragantia, São Paulo, 5: 1-144. 1945a.

Uns poucos fungos do Brasil. Bragantia, São Paulo, 5: 561-582. 1945b.

WILLIAMS, P.G. SCOTT, K.J. & KUHL, J.L. Vegetative growth of Puccinia graminis f. sp. tritici in vitro. Phytopathology, 12(56): 1418-1419. 1966.

ÍNDICE DE PLANTAS HOSPEDEIRAS

- Acanthospermum brasilium Schrank (A. xanthioides DC.), 42
Albizia lebbeck Benth., 82
Alternanthera brasiliiana (L.) Kuntze, 38
Alternanthera polygonoide R. Br. var. diffusa Mart., 38
Alternanthera puberula D. Dietr., 38
Anadenanthera macrocarpa (Benth.) Brenan, 77
Anadenanthera sp., 77
Andropogon condensatus H.B.K., 54
Antheaphora hermaphrodita (L.) Kuntze, 55
Arachis hypogaea L., 66
Aristida setifolia H.B.K., 60
Aristida sp., 60
Asclepias curassavica L., 90
Axonopus compressus Beauv., 33
Bambusa sp., 85
Bauhinia sp., 101
Bidens pilosa L., 93
Borreria sp., 88
Blainvillea rhomboidea Cass., 95
Blainvillea sp., 95
Byrsonima crassifolia H.B.K., 25
Byrsonima sp., 24
Caesalpinia pulcherrima Sw., 79
Caesalpinia pyramidalis Tul., 76
Canna indica L., 40
Cenchrus echinatus L., 57
Centrosema pubescens Benth., 104
Cestrum sp., 107
Clitoria sp., 103
Coccloba sp., 87
Coffea arabica L., 27
Commelinia nudiflora L., 91
Cordia sp., 15
Croton sp., 29
Cucumis anguria L., 49

- Cynodon dactylon (L.) Pers., 58
Cyperus sp., 8, 50, 84
Desmodium incanum DC., 102
Desmodium sp., 102
Digitaria horizontalis Willd., 4, 8, 56, 108, 110, 111
Diodia sp., 69
Elephantopus sp., 22
Emilia sonchifolia DC., 42
Eupatorium ballotaefolium H.B.K., 43
Eupatorium sp., 43
Euphorbia brasiliensis Lam., 97
Euphorbia sp., 97
Evolvulus sp., 48
Ficus carica L., 17
Gossypium hirsutum L., 31
Gossypium sp., 31
Guadua tagoara Kunth, 85
Helianthus annuus L., 44
Heliconia pendula Wawra, 64
Herissantia tiubae (K. Sch.), 67
Hydrocotyle sp., 71
Hymenaea stigonocarpa Mart., 86
Hymenaea sp., 86
Indigofera suffruticosa Mill., 78
Inga sp., 19
Ipomoea batatas Poir., 47
Ipomoea crassicaulis Robinson, 47
Ipomoea fistulosa Mart. ex Choisy, 47
Jatropha pohliana Muell. Arg., 30
Kyllinga odorata Vahl, 4, 8, 50
Lantana camara L., 72
Leonotis sp., 65
Lucuma grandiflora A. DC., 13
Macroscepis sp., 39
Manihot esculenta Crantz, 98
Melinis sp., 99
Panicum maximum Jacq., 52, 97

- Panicum microspermum Fourn. (P. trichoides Sw.), 61
Pappophorum sp., 62
Paspalum conjugatum Berg., 33
Paullinia pinnata L., 70
Phaseolus longipedunculatus Mart., 106
Phaseolus lathyroides L., 106
Phaseolus martii Benth., 106
Phaseolus panduratus Marth., 106
Phaseolus vulgaris L., 105
Plumeria alba L., 21
Pithecellobium multiflorum Benth., 80
Pseudabutilon spicatum R.E. Fr., 67
Psidium guajava L., 68
Rosa sp., cultae, 4, 8
Saccharum officinarum L., 4, 8, 108, 109, 111
Serjania sp., 70
Setaria viridis Beauv. (Panicum purpurascens Opiz), 99
Sida spinosa L., 67
Sida sp., 67
Sorghum sp., 53
Sorghum vulgare Pers. (S. bicolor (L.) Moench), 53
Sorghum vulgare Pers. var. sudanensis Piper, 53
Spilanthes acmella Murr., 42
Tabebuia serratifolia (Vahl) Nicholson, 36
Triumfetta sp., 74
Verbesina diversifolia DC., 45
Zea mays L., 59, 63
Wedelia scaberrima Benth., 94
Wissadula sp., 67